

ANEXOS

ANEXOS

Anexo I: Estudio hidrológico

Anexo II: Simulación del hábitat físico.

INDICE DE TABLAS

Tabla 1: Precipitación media (mm/mes) de la subcuenca 1 para el modelo MOHC-RACMO22E	8
Tabla 2: Temperatura media de la subcuenca 1 para el modelo MOHC-RACMO22E	9
Tabla 3: Precipitación media (mm/mes) de la subcuenca 2 para el modelo MOHC-RACMO22E	11
Tabla 4: Temperatura media de la subcuenca 2 para el modelo MOHC-RACMO22E	12
Tabla 5: Precipitación media (mm/mes) de la subcuenca 0 para el modelo MPI-CCLM4.....	14
Tabla 6: Temperatura media de la subcuenca 0 para el modelo MPI-CCLM4	15
Tabla 7: Precipitación media (mm/mes) de la subcuenca 1 para el modelo MPI-CCLM4	16
Tabla 8: Temperatura media de la subcuenca 1 para el modelo MPI-CCLM4.....	17
Tabla 9: Precipitación media (mm/mes) de la subcuenca 2 para el modelo MPI-CCLM4.....	18
Tabla 10: Temperatura media de la subcuenca 2 para el modelo MPI-CCLM4.....	19
Tabla 11: Precipitación media (mm/mes) de la subcuenca 0 para el modelo MPI-REMO2.....	20
Tabla 12: Temperatura media de la subcuenca 0 para el modelo MPI-REMO2.....	21
Tabla 13: Precipitación media (mm/mes) de la subcuenca 1 para el modelo MPI-REMO2.....	22
Tabla 14: Temperatura media de la subcuenca 1 para el modelo MPI-REMO2.....	23
Tabla 15: Precipitación media (mm/mes) de la subcuenca 2 para el modelo MPI-REMO2.....	24
Tabla 16: Temperatura media de la subcuenca 2 para el modelo MPI-REMO2.....	25
Tabla 17: Condiciones de contorno iniciales.	29
Tabla 18: Condiciones de contorno (calado) para H= 573.43, 573.41, 573.39 y 573.37 m.....	29
Tabla 19: Condiciones de contorno (calado) para WSE= 573.47, 573.49, 573.51 y 573.53 m.	30
Tabla 20: Caudales históricos.....	31
Tabla 21: Caudales del RCP4.5cp del modelo MOHC-RACMO22E.	31
Tabla 22: Caudales del RCP4.5mp del modelo MOHC-RACMO22E.....	31
Tabla 23: Media de los caudales de los escenarios RCP4.5 del modelo MOHC-RACMO22E.....	31
Tabla 24: Caudales del RCP8.5cp del modelo MOHC-RACMO22E.	32
Tabla 25: Caudales del RCP8.5mp del modelo MOHC-RACMO22E.....	32
Tabla 26: Media de los caudales de los escenarios RCP8.5 del modelo MOHC-RACMO22E.....	32
Tabla 27: Caudales del RCP4.5cp del modelo MPI-CCLM4.....	33
Tabla 28: Caudales del RCP4.5mp del modelo MPI-CCLM4.	33
Tabla 29: Media de los caudales de los escenarios RCP4.5 del modelo MPI-CCLM4.	33
Tabla 30: Caudales del RCP8.5cp del modelo MPI-CCLM4.....	33
Tabla 31: Caudales del RCP8.5mp del modelo MPI-CCLM4.	33
Tabla 32: Media de los caudales de los escenarios RCP8.5 del modelo MPI-CCLM4	34
Tabla 33: Caudales del RCP4.5cp del modelo MPI-REMO2.....	34

Tabla 34: Caudales del RCP4.5mp del modelo MPI-REMO2.	34
Tabla 35: Media de los caudales de los escenarios RCP4.5 del modelo MPI-REMO2.....	34
Tabla 36: Caudales del RCP8.5cp del modelo MPI-REMO2.....	35
Tabla 37: Caudales del RCP8.5mp del modelo MPI-REMO2.	35
Tabla 38: Media de los caudales de los escenarios RCP8.5 del modelo MPI-REMO2.....	35

INDICE DE FIGURAS

Figura 1: Corrección del sesgo del modelo MOHC-RACMO22E para la subcuenca 1(Fuente: elaboración propia).....	8
Figura 2:Precipitaciones medias del modelo MOHC-RACMO22E en la subcuenca 1 para losRCPs 4.5 y 8.5 a corto y medio plazo (Fuente: elaboración propia).	8
Figura 3:Corrección del sesgo del modelo MOHC-RACMO22E para la subcuenca 1 (Fuente: elaboración propia).....	9
Figura 4:Temperaturas medias del modelo MOHC-RACMO22E en la subcuenca 1 para losRCPs 4,5 y 8.5 a corto y medio (Fuente: elaboración propia).	10
Figura 5: Corrección del sesgo del modelo MOHC-RACMO22E para la subcuenca 2 (Fuente: elaboración propia).....	11
Figura 6: Precipitaciones medias del modelo MOHC-RACMO22E en la subcuenca 2 para los RCPs 4.5 y 8.5 a corto y medio plazo (Fuente: elaboración propia).	11
Figura 7: Corrección del sesgo del modelo MOHC-RACMO22E para la subcuenca 2 (Fuente: elaboración propia).....	12
Figura 8: Temperaturas medias del modelo MOHC-RACMO22E en la subcuenca 2 para los RCPs 4.5 y 8.5 a corto y medio plazo (Fuente: elaboración propia).	13
Figura 9: Corrección del sesgo del modelo MPI-CCLM4 para la subcuenca 0 (Fuente: elaboración propia).....	14
Figura 10: Precipitaciones medias del modelo MPI-CCLM4 en la subcuenca 0 para los RCPs 4.5 y 8.5 a corto y medio plazo (Fuente: elaboración propia).....	14
Figura 11: Corrección del sesgo del modelo MPI-CCLM4 para la subcuenca 0 (Fuente: elaboración propia).....	15
Figura 12: Temperaturas medias del modelo MPI-CCLM4 en la subcuenca 0 para los RCPs 4.5 y 8.5 a corto y medio plazo (Fuente: elaboración propia).....	15
Figura 13: Corrección del sesgo del modelo MPI-CCLM4 para la subcuenca 1 (Fuente: elaboración propia).....	16
Figura 14: Precipitaciones medias del modelo MPI-CCLM4 en la subcuenca 1 para los RCPs 4.5 y 8.5 a coroy medio plazo (Fuente: elaboración propia).	16
Figura 15: Corrección del sesgo del modelo MPI-CCLM4 para la subcuenca 1(Fuente: elaboración propia).....	17
Figura 16: Temperaturas medias del modelo MPI-CCLM4 en la subcuenca 1 para los RCPs 4.5 y 8.5 a corto y medio plazo (Fuente: elaboración propia).....	17

Figura 17: Corrección del sesgo del modelo MPI-CCLM4 para la subcuenca 2 (Fuente: elaboración propia).....	18
Figura 18: Precipitaciones medias del modelo MPI-CCLM4 en la subcuenca 2 para los RCPs 4.5 y 8.5 a corto y medio plazo (Fuente: elaboración propia).....	18
Figura 19: Corrección del sesgo del modelo MPI-CCLM4 para la subcuenca 2 (Fuente: elaboración propia).....	19
Figura 20: Temperaturas medias del modelo MPI-CCLM4 en la subcuenca 2 para los RCPs 4.5 y 8.5 a corto y medio plazo (Fuente: elaboración propia).....	19
Figura 21: Corrección del sesgo del modelo MPI-REMO2 para la subcuenca 0(Fuente: elaboración propia).....	20
Figura 22: Precipitaciones medias del modelo MPI-REMO2 en la subcuenca 0 para los RCPs 4.5 y 8.5 a corto y medio plazo (Fuente: elaboración propia).....	20
Figura 23: Corrección del sesgo del modelo MPI-REMO2 para la subcuenca 0 (Fuente: elaboración propia).....	21
Figura 24: Temperaturas medias del modelo MPI-REMO2 en la subcuenca 0 para losRCPs 4,5 y 8.5 a corto y medio (Fuente: elaboración propia).	21
Figura 25: Corrección del sesgo del modelo MPI-REMO2 para la subcuenca 1 (Fuente: elaboración propia).....	22
Figura 26: Precipitaciones medias del modelo MPI-REMO2 en la subcuenca 1 para los RCPs 4.5 y 8.5 a corto y medio plazo (Fuente: elaboración propia).....	22
Figura 27: Corrección del sesgo del modelo MPI-REMO2 para la subcuenca 1 (Fuente: elaboración propia).....	23
Figura 28: Temperaturas medias del modelo MPI-REMO2 en la subcuenca 1 para los RCPs 4.5 y 8.5 a corto y medio plazo (Fuente: elaboración propia).....	23
Figura 29: Corrección del sesgo del modelo MPI-REMO2 para la subcuenca 2(Fuente: elaboración propia).....	24
Figura 30: Precipitaciones medias del modelo MPI-REMO2 en la subcuenca 2 para los RCPs 4.5 y 8.5 a corto y medio plazo (Fuente: elaboración propia).....	24
Figura 31:Corrección del sesgo del modelo MPI-REMO2 para la subcuenca 2 (Fuente: elaboración propia).....	25
Figura 32: Temperaturas medias del modelo MPI-REMO2 en la subcuenca 2 para los RCPs 4.5 y 8.5 a corto y medio plazo (Fuente: elaboración propia).....	25
Figura 33: Caudales modelados a partir de los datos de los escenarios climáticos RCP4.5 y 8.5 para la subcuenca 1 (Fuente: elaboración propia).....	27
Figura 34: Caudales modelados a partir de los datos de los escenarios climáticos RCP4.5 y 8.5 para la subcuenca 2 (Fuente: elaboración propia).....	28
Figura 35: Mapa del Hábitat Potencial Útil para la trucha juvenil y adulta respectivamente del RCP4.5 MOHC-RACMO22E. (Fuente: elaboración propia).....	36
Figura 36: Mapa del Hábitat Potencial Útil para la trucha juvenil y adulta respectivamente del RCP8.5 MOHC-RACMO22E. (Fuente: elaboración propia).....	37

Figura 37: Mapa del Hábitat Potencial Útil para la trucha juvenil y adulta respectivamente del RCP4.5 MPI-CCLM4. (Fuente: elaboración propia)	38
Figura 38: Mapa del Hábitat Potencial Útil para la trucha juvenil y adulta respectivamente del RCP8.5 MPI-CCLM4. (Fuente: elaboración propia)	39
Figura 39: Mapa del Hábitat Potencial Útil para la trucha juvenil y adulta respectivamente del RCP4.5 MPI-REMO2. (Fuente: elaboración propia)	40
Figura 40: Mapa del Hábitat Potencial Útil para la trucha juvenil y adulta respectivamente del RCP8.5 MPI-REMO2. (Fuente: elaboración propia)	41

ANEXO I: Estudio hidrológico

Valores de precipitación y temperatura para los escenarios de cambio climático.

Modelo MOHC-RACMO22E:

Subcuenca 1

- Precipitación:

En las figuras se puede observar como la precipitación en los periodos de control, tanto corregido como sin corregir, se sitúa por niveles superiores a los obtenidos en el periodo histórico a pesar de haber realizado la corrección del sesgo. Tan solo en los meses de enero, febrero y el último trimestre del año se sitúa por debajo del histórico.

Respecto al escenario RCP4.5 a corto y medio plazo, se observan oscilaciones en los valores. Para el periodo 2011-2040, la precipitación se encuentra por debajo del periodo histórico en los meses invernales, mientras que en los estivales sus valores son mayores, pero sin grandes diferencias. Sin embargo, el periodo que engloba desde el año 2041 al 2070, tiene lugar dos picos pronunciados en los meses de mayo y octubre, donde los valores de precipitación aumentan respecto al periodo histórico. En el escenario RCP4.5 a medio plazo se produce más precipitación que a corto plazo.

Los valores de precipitación para el escenario RCP8.5 a corto y medio plazo sufren el efecto contrario al RCP4.5, es decir, mientras que los picos pronunciados de precipitación en el escenario anterior se producían a medio plazo, en el RCP8.5 tienen lugar a corto plazo, aunque en ambos casos se producen en los meses de mayo y octubre. En el periodo 2011-2040 los valores de precipitación se sitúan en niveles por encima del histórico exceptuando los meses de noviembre, diciembre y febrero. Para el periodo comprendido entre el 2041 y el 2070, los valores de precipitación disminuyen, pero siguen situándose en general por encima del periodo histórico. En ambos casos, en los meses de verano se produce un aumento de los niveles de precipitación.

Tabla 1: Precipitación media (mm/mes) de la subcuenca 1 para el modelo MOHC-RACMO22E

MOHC-RACMO22E Subc_1 Pmedia							
Mes	histórico	control	control corregido	4.5 (2011-2040)	4.5 (2041-2070)	8.5 (2011-2040)	8.5 (2041-2070)
Enero	42	51	39	18	26	44	27
Febrero	37	36	27	26	28	28	22
Marzo	36	60	44	30	32	50	38
Abril	57	87	67	54	47	62	65
Mayo	61	107	81	69	84	87	66
Junio	46	68	52	51	39	54	37
Julio	21	35	27	27	18	28	26
Agosto	37	61	46	53	52	54	44
Septiembre	58	101	79	57	66	54	53
Octubre	69	83	64	62	85	92	74
Noviembre	60	66	50	46	55	37	70
Diciembre	59	37	27	29	39	30	40

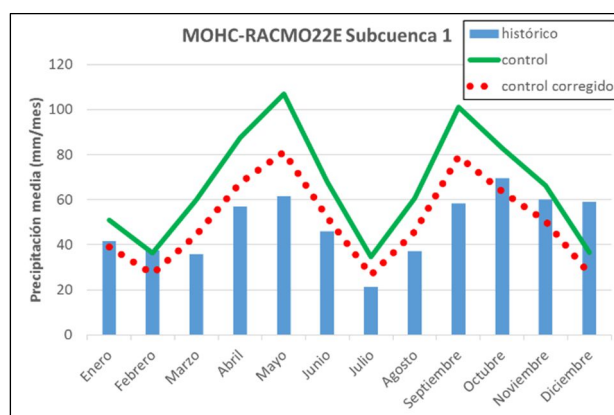


Figura 1: Corrección del sesgo del modelo MOHC-RACMO22E para la subcuenca 1 (Fuente: elaboración propia)

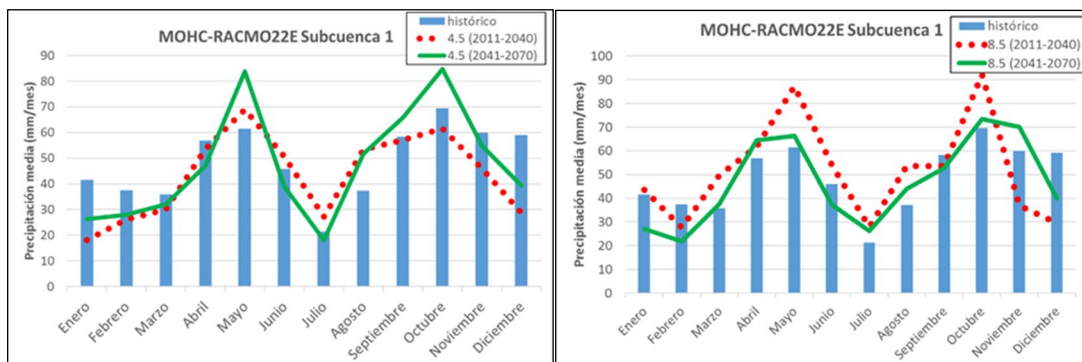


Figura 2: Precipitaciones medias del modelo MOHC-RACMO22E en la subcuenca 1 para los RCPs 4.5 y 8.5 a corto y medio plazo (Fuente: elaboración propia).

- Temperaturas:

La temperatura, al igual que ocurre en la subcuenca 0, no sufre grandes oscilaciones. En el periodo de control se sitúa por debajo de los niveles histórico, pero tras su corrección, los niveles se sitúan al mismo nivel que el histórico.

Para los escenarios RCP4.5 y 8.5, se produce un aumento de las temperaturas. El mayor aumento se produce a medio plazo y en los meses estivales.

Tabla 2: Temperatura media de la subcuenca 1 para el modelo MOHC-RACMO22E

MOHC-RACMO22E Subc_1 Tmedia							
Mes	histórico	control	control corregido	4.5 (2011-2040)	4.5 (2041-2070)	8.5 (2011-2040)	8.5 (2041-2070)
Enero	6.70	2.44	6.71	7.50	8.71	8.41	8.98
Febrero	7.58	3.58	7.61	8.73	9.53	9.26	10.13
Marzo	9.44	5.98	9.66	10.84	11.34	10.45	11.47
Abril	11.09	8.26	11.58	12.67	13.64	12.57	13.86
Mayo	14.64	12.22	15.06	15.74	15.94	16.09	17.44
Junio	18.73	16.91	19.31	20.17	21.46	20.58	21.94
Julio	21.72	20.34	22.16	23.62	25.26	23.46	25.82
Agosto	21.90	20.04	21.89	22.70	24.01	23.28	24.87
Septiembre	18.69	15.43	18.01	19.52	20.47	20.04	21.43
Octubre	14.04	10.38	13.40	15.12	16.14	15.32	16.82
Noviembre	10.20	6.36	10.01	11.23	11.54	11.42	12.61
Diciembre	7.64	3.49	7.59	8.96	9.28	9.11	9.88

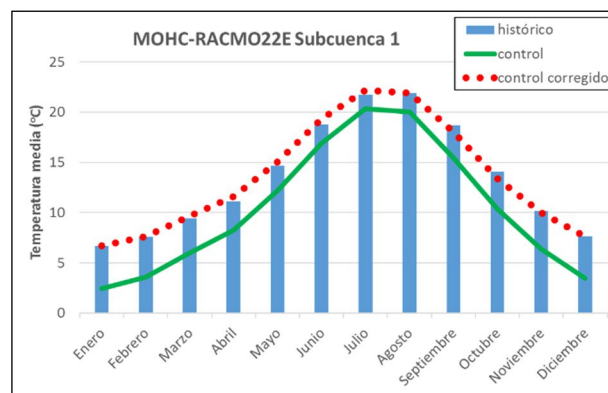


Figura 3: Corrección del sesgo del modelo MOHC-RACMO22E para la subcuenca 1 (Fuente: elaboración propia)

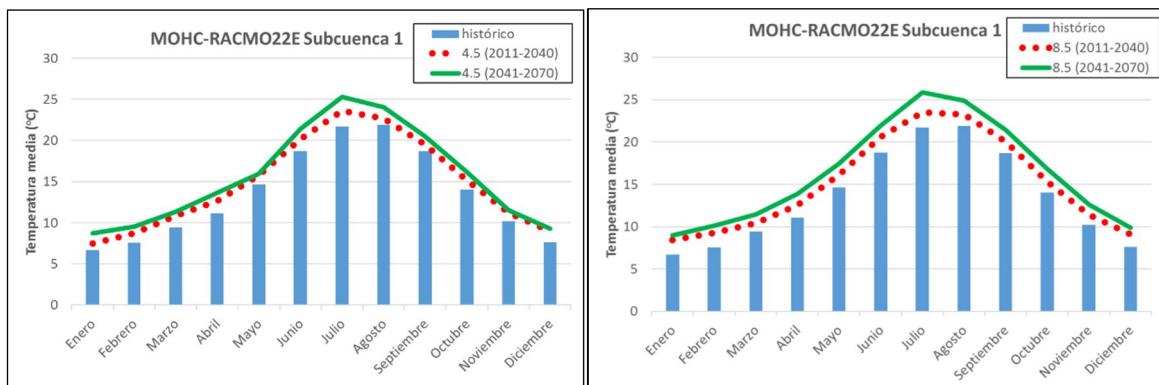


Figura 4: Temperaturas medias del modelo MOHC-RACMO22E en la subcuenca 1 para los RCPs 4,5 y 8.5 a corto y medio (Fuente: elaboración propia).

Subcuenca 2

- Precipitación:

Los valores de la subcuenca 2, apreciables en el *Anexo I: Estudio hidrológico*, son muy similares a los obtenidos en la subcuenca 1, debido a la proximidad de las mismas y a la similitud de sus superficies.

Respecto a los escenarios RCP, los valores de precipitación siguen la misma tendencia que en la subcuenca 1. En el RCP4.5 a medio plazo se producen dos picos en los meses de mayo y octubre, disminuyendo en el resto de los meses. Y al igual que en la subcuenca anterior, las mayores precipitaciones se producen a medio plazo.

Para los escenarios RCP8.5, ocurre lo contrario que en el anterior escenario. Los mayores valores de precipitación se producen a corto plazo.

Tabla 3: Precipitación media (mm/mes) de la subcuenca 2 para el modelo MOHC-RACMO22E

MOHC-RACMO22E Subc. 2 Pmedia							
Mes	histórico	control	control corregido	4.5 (2011-2040)	4.5 (2041-2070)	8.5 (2011-2040)	8.5 (2041-2070)
Enero	46	52	42	21	28	39	30
Febrero	42	36	29	29	30	25	24
Marzo	39	60	47	32	34	48	40
Abril	61	87	71	58	51	61	67
Mayo	65	107	86	74	88	87	72
Junio	49	71	57	55	43	54	42
Julio	22	37	30	31	22	28	29
Agosto	37	62	49	58	56	53	47
Septiembre	59	101	84	60	69	53	56
Octubre	72	83	67	64	87	88	78
Noviembre	65	66	54	50	58	37	72
Diciembre	65	39	31	33	42	28	42

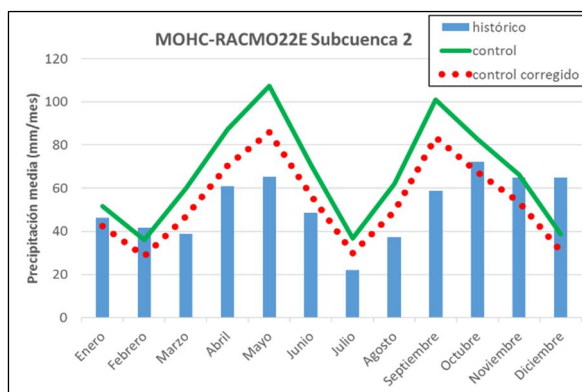


Figura 5: Corrección del sesgo del modelo MOHC-RACMO22E para la subcuenca 2 (Fuente: elaboración propia).

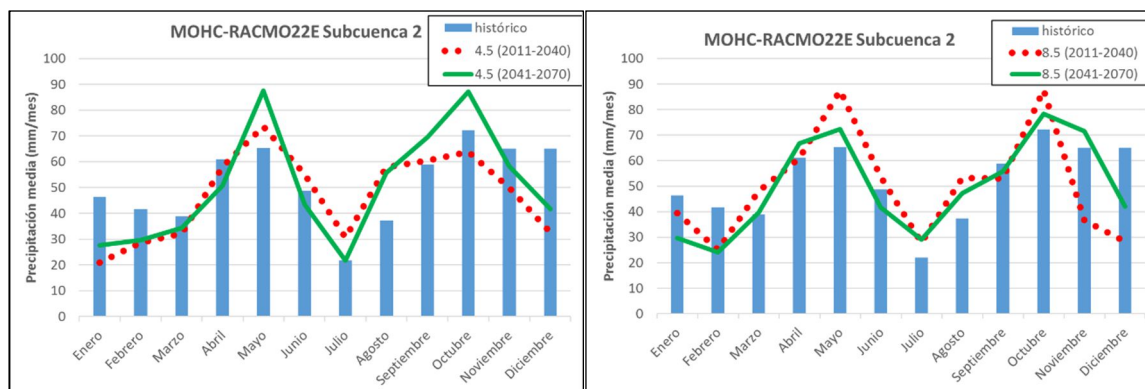


Figura 6: Precipitaciones medias del modelo MOHC-RACMO22E en la subcuenca 2 para los RCPs 4.5 y 8.5 a corto y medio plazo (Fuente: elaboración propia).

- Temperatura:

Respecto a la temperatura, no se aprecian variaciones respecto al resto de subcuencas. Al realizar la corrección en el periodo de control, los valores se sitúan al mismo nivel que en el periodo histórico. En los escenarios RCP4.5 y 8.5 la temperatura aumenta de la misma manera que aumenta en las subcuencas anteriores.

Tabla 4: Temperatura media de la subcuenca 2 para el modelo MOHC-RACMO22E

MOHC-RACMO22E Subc_2 Tmedia							
Mes	histórico	control	control corregido	4.5 (2011-2040)	4.5 (2041-2070)	8.5 (2011-2040)	8.5 (2041-2070)
Enero	5.83	1.99	5.84	6.65	7.83	7.52	8.10
Febrero	6.68	3.12	6.73	7.83	8.65	8.37	9.25
Marzo	8.55	5.53	8.77	9.93	10.46	9.55	10.59
Abril	10.19	7.83	10.71	11.79	12.77	11.70	13.00
Mayo	13.78	11.82	14.22	14.87	15.08	15.25	16.63
Junio	17.91	16.55	18.53	19.41	20.73	19.83	21.21
Julio	20.95	19.97	21.43	22.91	24.53	22.74	25.10
Agosto	21.13	19.65	21.14	21.96	23.27	22.53	24.12
Septiembre	17.85	15.03	17.18	18.70	19.68	19.23	20.66
Octubre	13.13	9.94	12.51	14.24	15.27	14.44	15.95
Noviembre	9.32	5.92	9.13	10.35	10.65	10.53	11.75
Diciembre	6.77	3.05	6.71	8.08	8.41	8.24	9.02

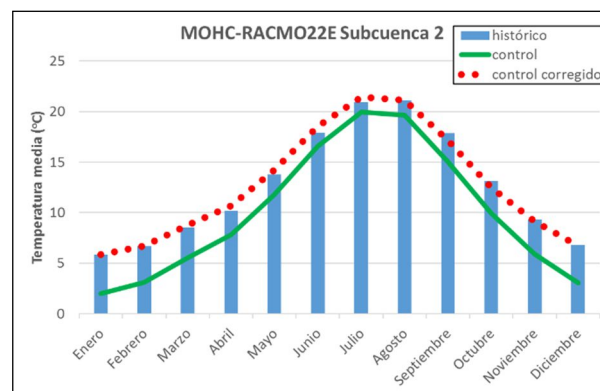


Figura 7: Corrección del sesgo del modelo MOHC-RACMO22E para la subcuenca 2 (Fuente: elaboración propia).

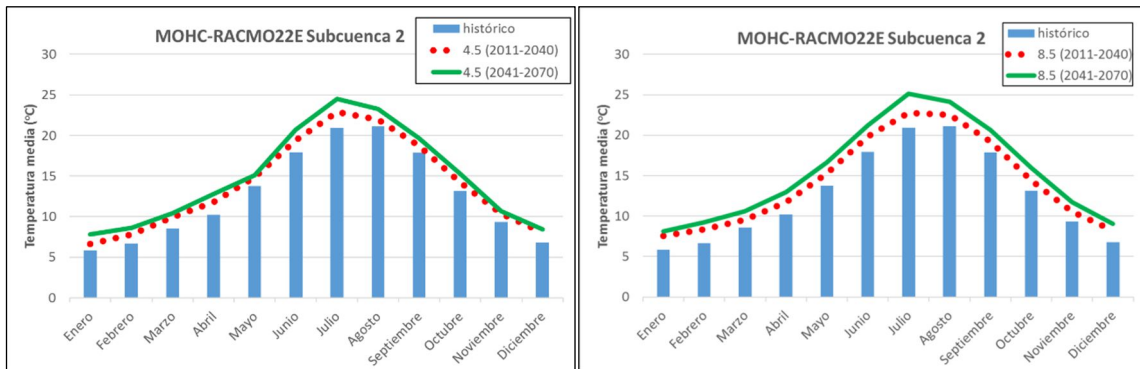


Figura 8: Temperaturas medias del modelo MOHC-RACMO22E en la subcuenca 2 para los RCPs 4.5 y 8.5 a corto y medio plazo (Fuente: elaboración propia).

Modelo MPI-CCLM4

Subcuenca 0

- Precipitación:

Tabla 5: Precipitación media (mm/mes) de la subcuenca 0 para el modelo MPI-CCLM4

MPI-CCLM4 Subc_0 Pmedia							
Mes	histórico	control	control corregido	4.5 (2011-2040)	4.5 (2041-2070)	8.5 (2011-2040)	8.5 (2041-2070)
Enero	40	49	48	48	73	49	53
Febrero	35	39	38	42	57	43	36
Marzo	35	54	52	50	57	40	40
Abril	54	70	68	57	47	60	46
Mayo	58	74	74	38	39	57	49
Junio	42	42	41	45	30	27	27
Julio	20	14	14	21	19	23	14
Agosto	35	21	21	20	17	14	19
Septiembre	59	52	50	44	45	58	47
Octubre	70	61	59	94	63	57	61
Noviembre	58	70	68	46	70	46	46
Diciembre	56	61	60	49	61	60	62

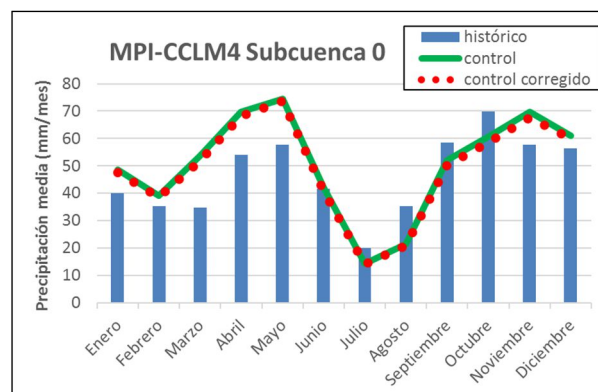


Figura 9: Corrección del sesgo del modelo MPI-CCLM4 para la subcuenca 0 (Fuente: elaboración propia).

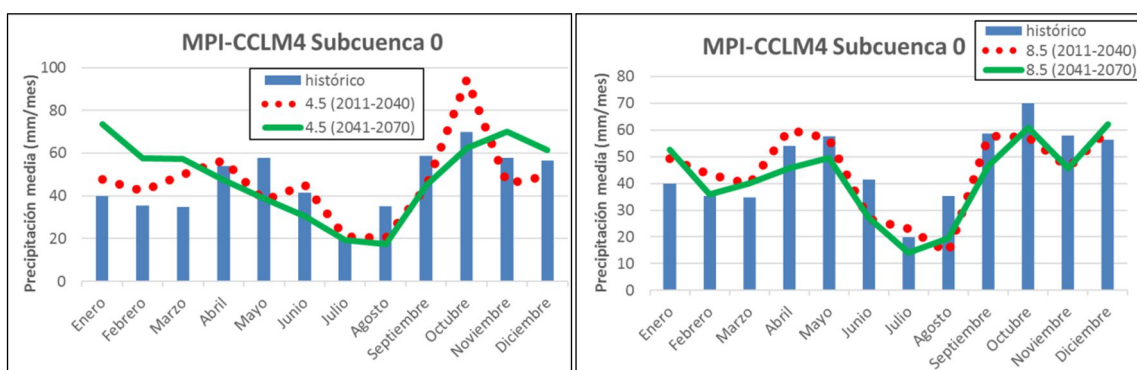


Figura 10: Precipitaciones medias del modelo MPI-CCLM4 en la subcuenca 0 para los RCPs 4.5 y 8.5 a corto y medio plazo (Fuente: elaboración propia).

- Temperatura:

Tabla 6: Temperatura media de la subcuenca 0 para el modelo MPI-CCLM4

MPI-CCLM4 Subc_0 Tmedia							
Mes	histórico	control	control corregido	4.5 (2011-2040)	4.5 (2041-2070)	8.5 (2011-2040)	8.5 (2041-2070)
Enero	7.95	5.09	8.12	8.60	9.12	8.81	9.57
Febrero	8.83	5.67	8.65	9.29	9.57	8.88	10.26
Marzo	10.64	8.04	10.79	11.02	11.16	11.00	11.81
Abril	12.24	9.97	12.51	12.89	13.32	13.33	14.44
Mayo	15.69	13.03	15.36	16.65	17.24	16.71	17.67
Junio	19.73	18.54	20.08	20.81	21.24	21.03	21.74
Julio	22.65	22.12	22.79	23.18	23.84	23.24	24.42
Agosto	22.86	21.62	22.45	23.37	23.98	23.68	24.42
Septiembre	19.79	17.98	19.65	20.33	21.02	20.55	22.20
Octubre	15.29	12.99	15.31	15.60	16.67	16.60	17.54
Noviembre	11.47	8.69	11.35	12.12	12.42	12.34	13.31
Diciembre	8.90	5.86	8.85	9.84	9.92	9.79	10.40

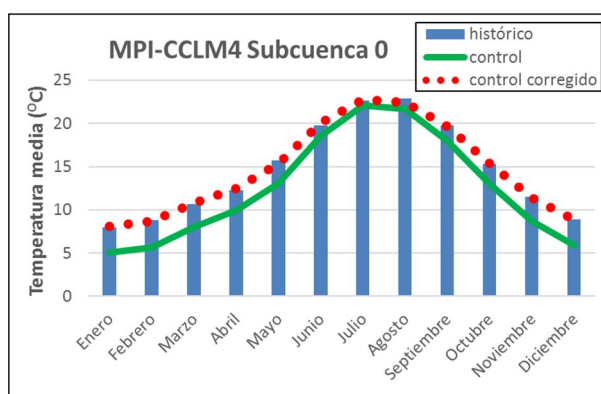


Figura 11: Corrección del sesgo del modelo MPI-CCLM4 para la subcuenca 0 (Fuente: elaboración propia).

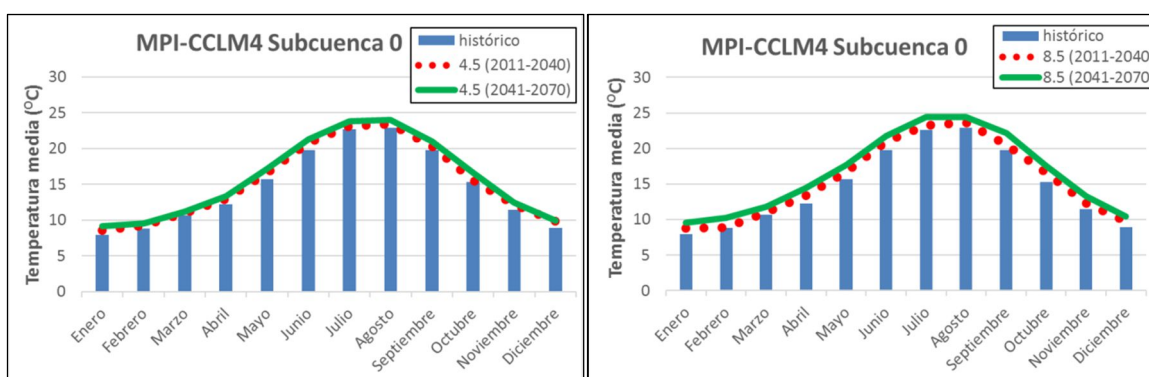


Figura 12: Temperaturas medias del modelo MPI-CCLM4 en la subcuenca 0 para los RCPs 4.5 y 8.5 a corto y medio plazo (Fuente: elaboración propia).

Subcuenca 1

- Precipitación:

Tabla 7: Precipitación media (mm/mes) de la subcuenca 1 para el modelo MPI-CCLM4

MPI-CCLM4 Subc_1 Pmedia							
Mes	histórico	control	control corregido	4.5 (2011-2040)	4.5 (2041-2070)	8.5 (2011-2040)	8.5 (2041-2070)
Enero	42	53	51	50	75	55	52
Febrero	37	43	42	46	56	47	37
Marzo	36	55	53	52	54	42	39
Abril	57	72	69	59	45	60	43
Mayo	61	76	75	39	37	57	45
Junio	46	43	41	43	30	27	27
Julio	21	17	16	23	18	27	16
Agosto	37	21	20	21	17	16	19
Septiembre	58	54	51	44	42	57	43
Octubre	69	63	60	95	59	59	57
Noviembre	60	75	71	47	68	50	43
Diciembre	59	66	64	53	65	63	58

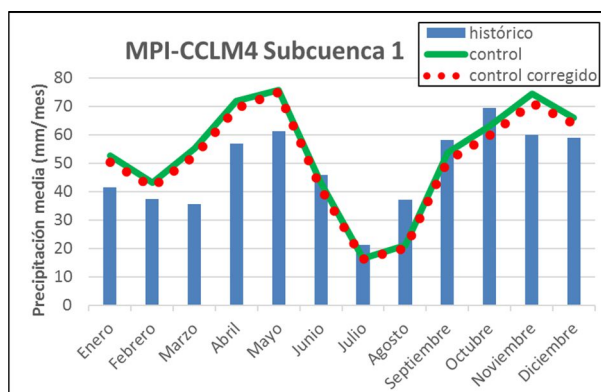


Figura 13: Corrección del sesgo del modelo MPI-CCLM4 para la subcuenca 1 (Fuente: elaboración propia).

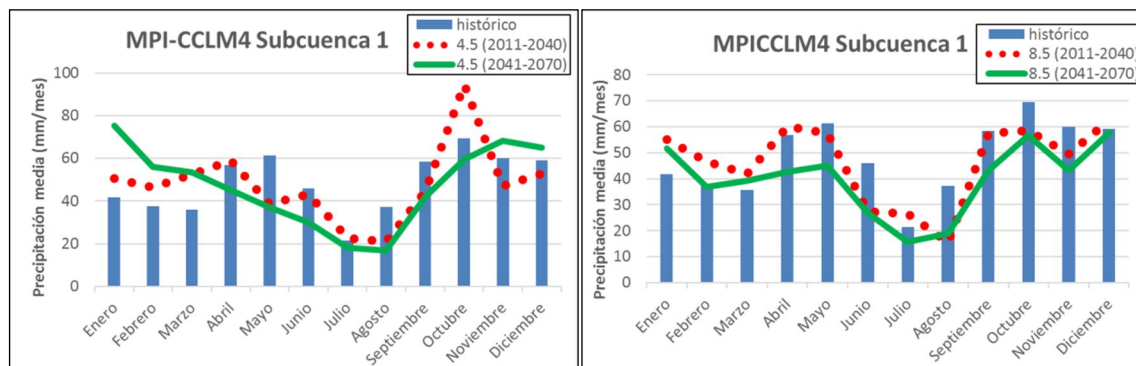


Figura 14: Precipitaciones medias del modelo MPI-CCLM4 en la subcuenca 1 para los RCPs 4.5 y 8.5 a corto y medio plazo (Fuente: elaboración propia).

- Temperatura:

Tabla 8: Temperatura media de la subcuenca 1 para el modelo MPI-CCLM4

MPI-CCLM4 Subc_1 Tmedia							
Mes	histórico	control	control corregido	4.5 (2011-2040)	4.5 (2041-2070)	8.5 (2011-2040)	8.5 (2041-2070)
Enero	6.70	3.93	6.89	7.38	7.91	7.60	8.39
Febrero	7.58	4.46	7.38	8.01	8.33	7.50	9.02
Marzo	9.44	6.82	9.54	9.74	9.91	9.75	10.57
Abril	11.09	8.76	11.27	11.62	12.06	12.10	13.24
Mayo	14.64	11.88	14.18	15.50	16.11	15.58	16.58
Junio	18.73	17.57	19.09	19.85	20.29	20.08	20.83
Julio	21.72	21.22	21.90	22.31	22.97	22.37	23.56
Agosto	21.90	20.63	21.49	22.50	23.09	22.78	23.51
Septiembre	18.69	16.94	18.60	19.28	20.03	19.52	21.26
Octubre	14.04	11.81	14.11	14.40	15.51	15.44	16.40
Noviembre	10.20	7.53	10.15	10.90	11.21	11.15	12.13
Diciembre	7.64	4.72	7.66	8.67	8.73	8.60	9.21

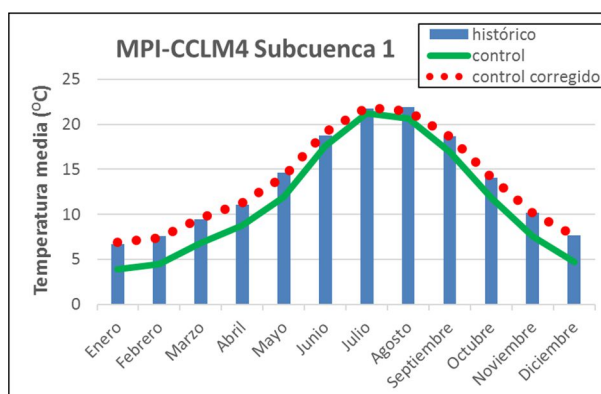


Figura 15: Corrección del sesgo del modelo MPI-CCLM4 para la subcuenca 1(Fuente: elaboración propia).

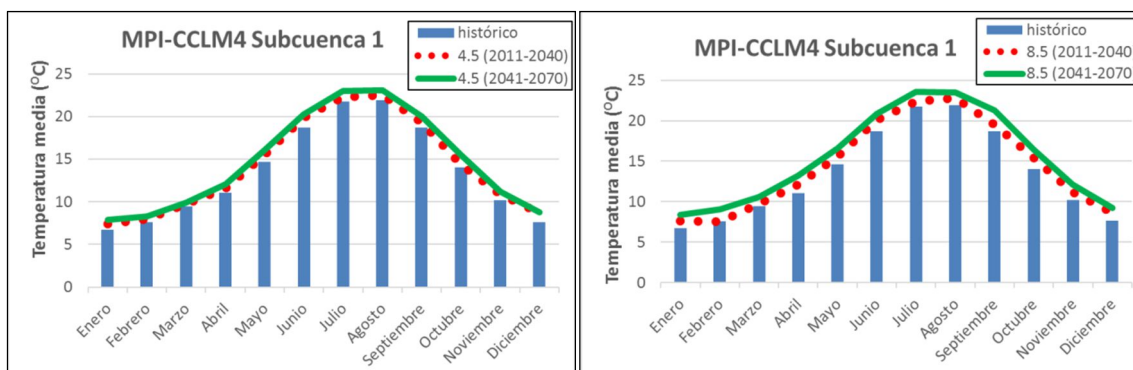


Figura 16: Temperaturas medias del modelo MPI-CCLM4 en la subcuenca 1 para los RCPs 4.5 y 8.5 a corto y medio plazo (Fuente: elaboración propia).

Subcuenca 2

- Precipitación:

Tabla 9: Precipitación media (mm/mes) de la subcuenca 2 para el modelo MPI-CCLM4

MPI-CCLM4 Subc_2 Pmedia							
Mes	histórico	control	control corregido	4.5 (2011-2040)	4.5 (2041-2070)	8.5 (2011-2040)	8.5 (2041-2070)
Enero	46	55	54	54	78	60	61
Febrero	42	45	45	50	58	50	45
Marzo	39	55	55	55	57	45	47
Abril	61	73	73	61	48	62	48
Mayo	65	75	77	41	41	59	50
Junio	49	43	43	45	33	29	31
Julio	22	16	17	25	20	28	18
Agosto	37	21	22	23	19	17	22
Septiembre	59	54	53	46	43	59	46
Octubre	72	63	62	95	61	61	65
Noviembre	65	76	75	50	70	52	51
Diciembre	65	67	67	56	68	65	68

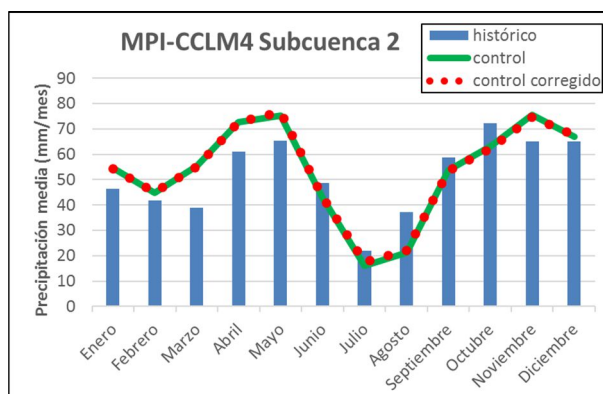


Figura 17: Corrección del sesgo del modelo MPI-CCLM4 para la subcuenca 2 (Fuente: elaboración propia).

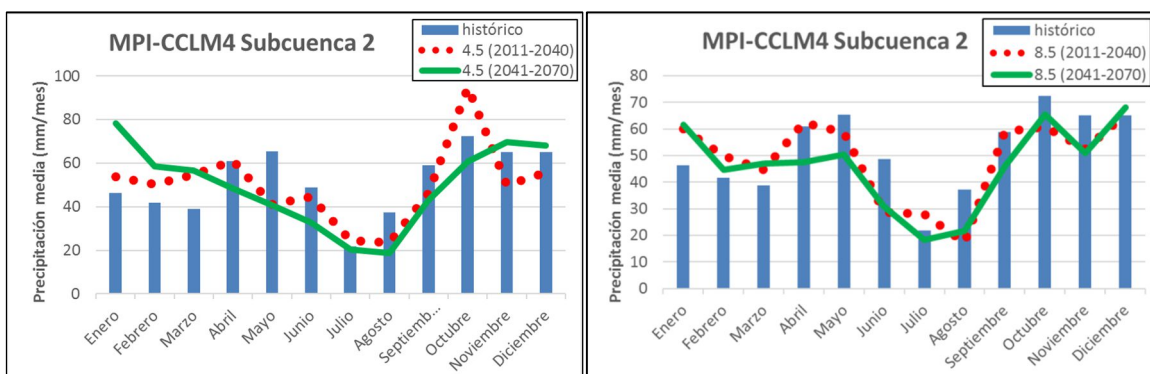


Figura 18: Precipitaciones medias del modelo MPI-CCLM4 en la subcuenca 2 para los RCPs 4.5 y 8.5 a corto y medio plazo (Fuente: elaboración propia).

- Temperatura:

Tabla 10: Temperatura media de la subcuenca 2 para el modelo MPI-CCLM4

MPI-CCLM4 Sub_2 Tmedia							
Mes	histórico	control	control corregido	4.5 (2011-2040)	4.5 (2041-2070)	8.5 (2011-2040)	8.5 (2041-2070)
Enero	5.83	3.61	6.46	7.09	7.41	6.63	8.12
Febrero	6.68	4.11	8.63	8.82	8.99	8.85	9.66
Marzo	8.55	6.46	10.37	10.71	11.17	11.21	12.36
Abril	10.19	8.41	13.30	14.64	15.27	14.73	15.76
Mayo	13.78	11.53	18.29	19.06	19.51	19.30	20.07
Junio	17.91	17.27	21.15	21.57	22.22	21.63	22.82
Julio	20.95	20.95	20.73	21.76	22.34	22.02	22.75
Agosto	21.13	20.33	17.79	18.47	19.24	18.73	20.51
Septiembre	17.85	16.64	13.24	13.54	14.66	14.60	15.57
Octubre	13.13	11.47	9.27	10.04	10.34	10.30	11.28
Noviembre	9.32	7.21	6.78	7.80	7.85	7.72	8.35
Diciembre	6.77	4.42	6.02	6.43	7.07	6.77	7.61

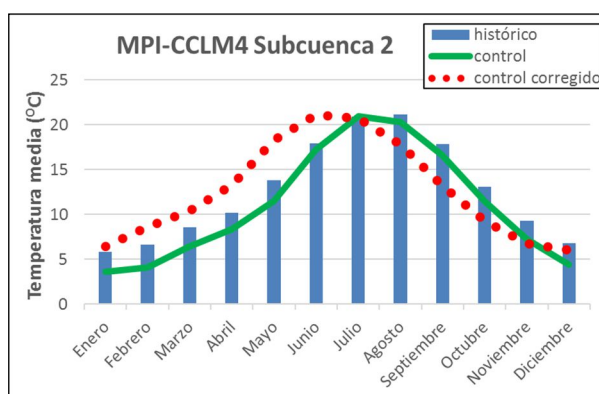


Figura 19: Corrección del sesgo del modelo MPI-CCLM4 para la subcuenca 2 (Fuente: elaboración propia).

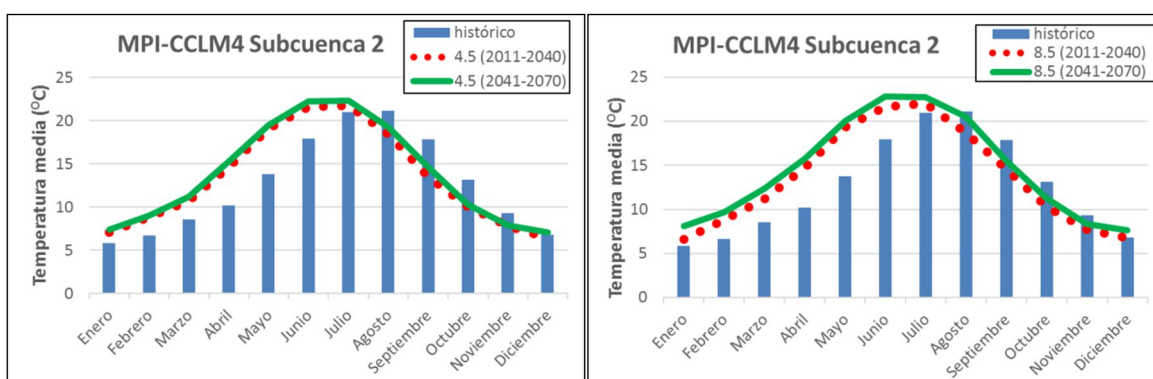


Figura 20: Temperaturas medias del modelo MPI-CCLM4 en la subcuenca 2 para los RCPs 4.5 y 8.5 a corto y medio plazo (Fuente: elaboración propia).

Modelo MPI-REMO2

Subcuenca 0

- Precipitación:

Tabla 11: Precipitación media (mm/mes) de la subcuenca 0 para el modelo MPI-REMO2

MPI-REMO2 Subc_0 Pmedia							
Mes	histórico	control	control corregido	4.5 (2011-2040)	4.5 (2041-2070)	8.5 (2011-2040)	8.5 (2041-2070)
Enero	40	36	33	32	25	39	39
Febrero	35	26	23	26	27	33	17
Marzo	35	49	47	37	25	32	40
Abril	54	44	42	56	60	56	48
Mayo	58	69	69	62	53	45	51
Junio	42	72	70	53	36	54	38
Julio	20	44	41	41	25	34	28
Agosto	35	46	45	38	36	27	25
Septiembre	59	58	56	53	58	40	55
Octubre	70	53	52	55	47	59	57
Noviembre	58	63	61	61	38	42	39
Diciembre	56	35	32	22	20	43	39

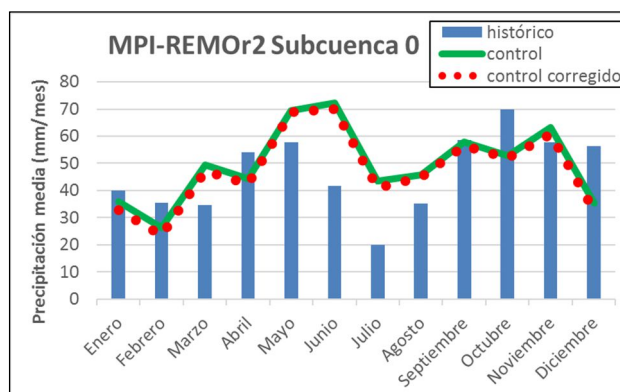


Figura 21: Corrección del sesgo del modelo MPI-REMO2 para la subcuenca 0(Fuente: elaboración propia).

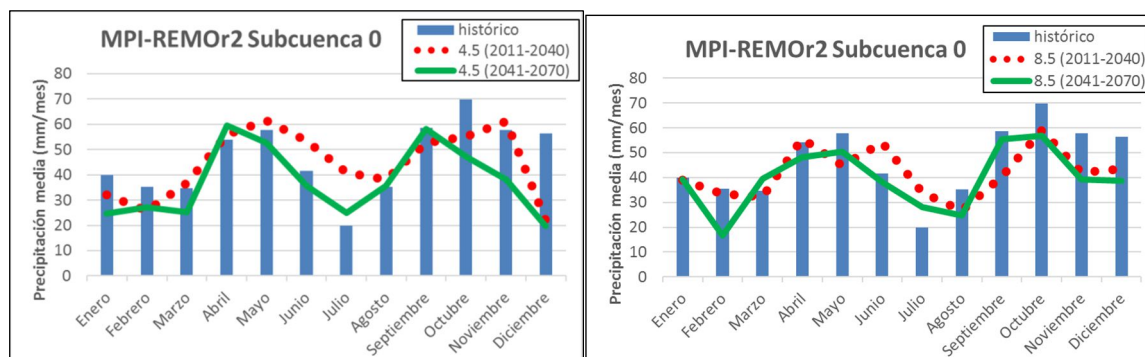


Figura 22: Precipitaciones medias del modelo MPI-REMO2 en la subcuenca 0 para los RCPs 4.5 y 8.5 a corto y medio plazo (Fuente: elaboración propia).

- Temperatura:

Tabla 12: Temperatura media de la subcuenca 0 para el modelo MPI-REMO2

MPI-REMO2 Subc_0 Tmedia							
Mes	histórico	control	control corregido	4.5 (2011-2040)	4.5 (2041-2070)	8.5 (2011-2040)	8.5 (2041-2070)
Enero	7.95	5.58	8.07	8.43	10.33	8.09	10.33
Febrero	8.83	6.26	8.82	9.16	10.43	9.67	10.94
Marzo	10.64	8.20	10.75	11.53	11.78	11.51	12.16
Abril	12.24	10.34	12.55	12.81	13.72	13.16	14.43
Mayo	15.69	14.06	16.08	16.94	17.35	17.13	18.46
Junio	19.73	18.29	20.32	21.11	21.86	21.28	22.53
Julio	22.65	21.09	22.72	23.82	25.27	24.23	25.70
Agosto	22.86	21.23	22.84	23.61	24.67	24.08	25.76
Septiembre	19.79	17.07	19.23	20.56	21.42	20.83	22.24
Octubre	15.29	12.72	14.61	15.17	16.99	15.54	17.46
Noviembre	11.47	8.78	11.26	11.61	12.67	11.98	13.16
Diciembre	8.90	6.27	8.80	9.71	10.95	9.51	11.09

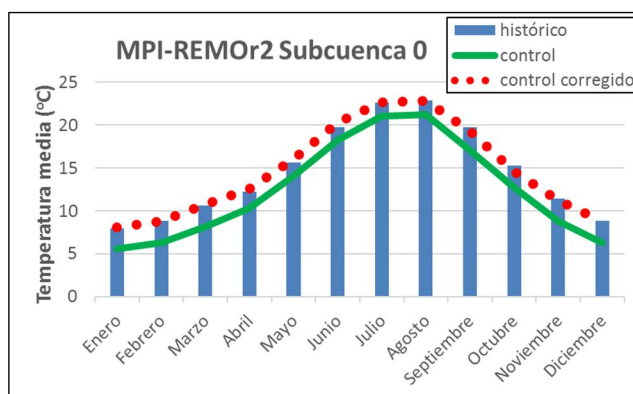


Figura 23: Corrección del sesgo del modelo MPI-REMO2 para la subcuenca 0 (Fuente: elaboración propia).

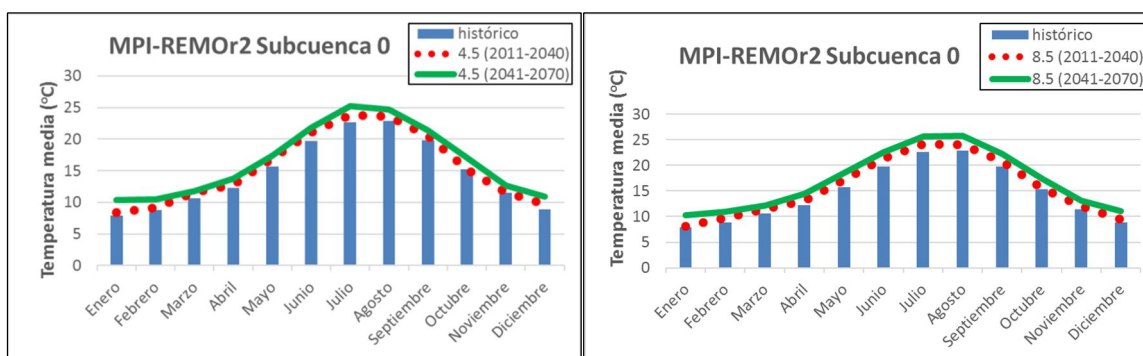


Figura 24: Temperaturas medias del modelo MPI-REMO2 en la subcuenca 0 para losRCPs 4,5 y 8.5 a corto y medio (Fuente: elaboración propia).

Subcuenca 1

- Precipitación:

Tabla 13: Precipitación media (mm/mes) de la subcuenca 1 para el modelo MPI-REMO2

MPI-REMO2 Subc_1 Pmedia							
Mes	histórico	control	control corregido	4.5 (2011-2040)	4.5 (2041-2070)	8.5 (2011-2040)	8.5 (2041-2070)
Enero	42	23	30	29	21	36	36
Febrero	37	17	24	25	26	31	15
Marzo	36	35	46	34	25	33	38
Abril	57	32	43	58	55	56	47
Mayo	61	52	68	64	54	49	53
Junio	46	65	82	65	46	66	43
Julio	21	42	54	55	41	46	46
Agosto	37	43	57	52	47	37	35
Septiembre	58	42	55	54	63	40	61
Octubre	69	36	49	50	48	54	52
Noviembre	60	41	54	54	33	36	36
Diciembre	59	21	29	21	19	35	34

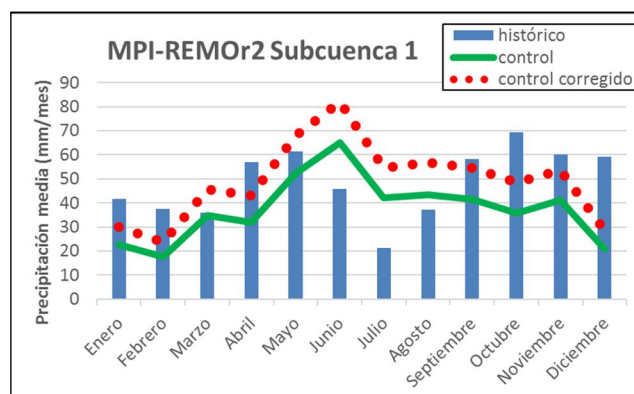


Figura 25: Corrección del sesgo del modelo MPI-REMO2 para la subcuenca 1 (Fuente: elaboración propia).

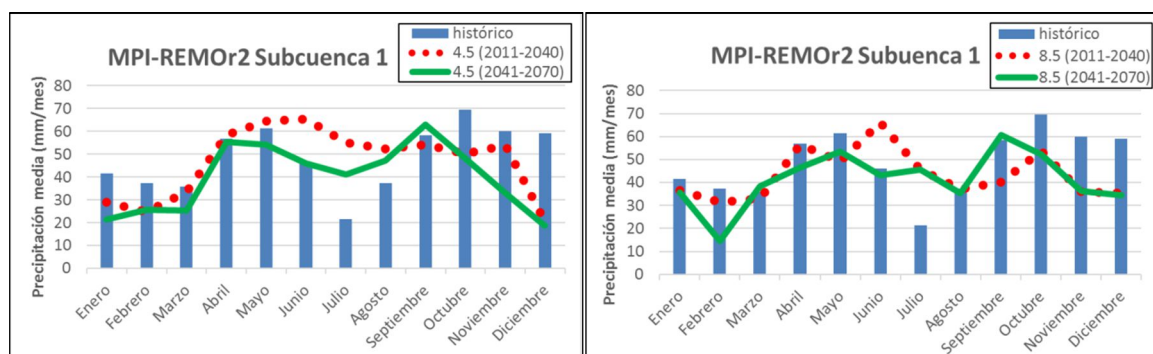


Figura 26: Precipitaciones medias del modelo MPI-REMO2 en la subcuenca 1 para los RCPs 4.5 y 8.5 a corto y medio plazo (Fuente: elaboración propia).

- Temperatura:

Tabla 14: Temperatura media de la subcuenca 1 para el modelo MPI-REMO2

MPI-REMO2 Subc_1 Tmedia							
Mes	histórico	control	control corregido	4.5 (2011-2040)	4.5 (2041-2070)	8.5 (2011-2040)	8.5 (2041-2070)
Enero	6.70	3.98	6.78	7.16	9.08	7.06	9.05
Febrero	7.58	4.68	7.54	7.89	9.17	8.42	9.67
Marzo	9.44	6.66	9.49	10.25	10.50	10.21	10.90
Abril	11.09	8.79	11.28	11.56	12.56	11.96	13.27
Mayo	14.64	12.65	14.96	15.83	16.27	16.05	17.43
Junio	18.73	17.00	19.35	20.15	20.96	20.32	21.67
Julio	21.72	19.86	21.81	22.90	24.35	23.27	24.76
Agosto	21.90	19.95	21.90	22.64	23.70	23.12	24.77
Septiembre	18.69	15.71	18.18	19.56	20.45	19.83	21.31
Octubre	14.04	11.28	13.43	13.95	15.88	14.38	16.33
Noviembre	10.20	7.31	10.06	10.37	11.47	10.79	11.98
Diciembre	7.64	4.70	7.54	8.47	9.80	8.26	9.85

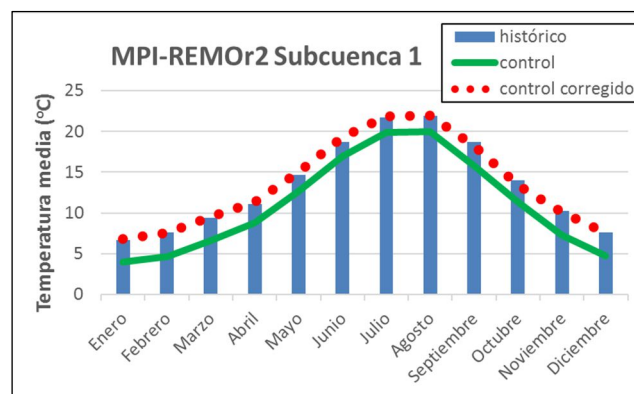


Figura 27: Corrección del sesgo del modelo MPI-REMO2 para la subcuenca 1 (Fuente: elaboración propia).

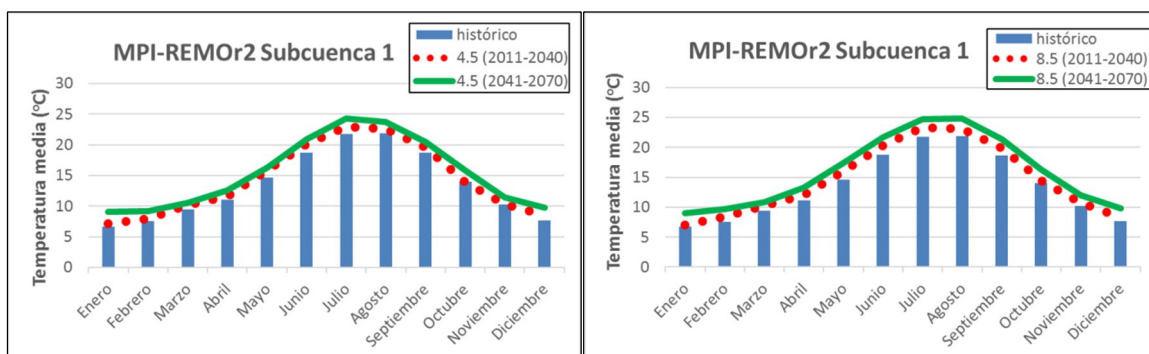


Figura 28: Temperaturas medias del modelo MPI-REMO2 en la subcuenca 1 para los RCPs 4.5 y 8.5 a corto y medio plazo (Fuente: elaboración propia).

Subcuenca 2

- Precipitación:

Tabla 15: Precipitación media (mm/mes) de la subcuenca 2 para el modelo MPI-REMO2

MPI-REMO2 Subc_2 Pmedia							
Mes	histórico	control	control corregido	4.5 (2011-2040)	4.5 (2041-2070)	8.5 (2011-2040)	8.5 (2041-2070)
Enero	46	21	34	33	23	42	35
Febrero	42	17	27	31	28	35	16
Marzo	39	32	49	35	28	36	41
Abril	61	28	44	60	57	58	48
Mayo	65	48	73	69	57	54	56
Junio	49	56	85	73	50	72	48
Julio	22	37	58	61	46	51	50
Agosto	37	39	61	60	55	43	40
Septiembre	59	36	57	59	67	45	68
Octubre	72	31	50	53	48	57	53
Noviembre	65	35	55	54	33	37	39
Diciembre	65	19	31	23	21	36	36

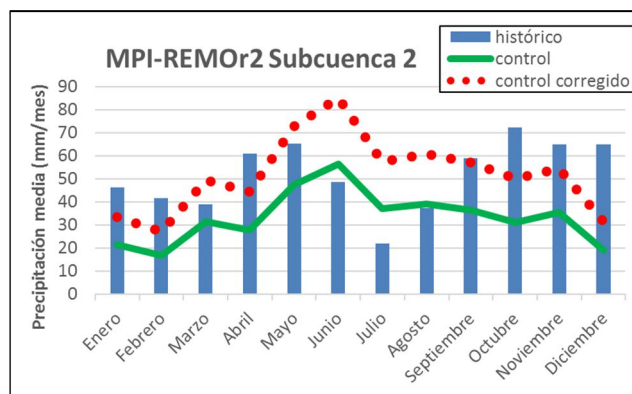


Figura 29: Corrección del sesgo del modelo MPI-REMO2 para la subcuenca 2(Fuente: elaboración propia).

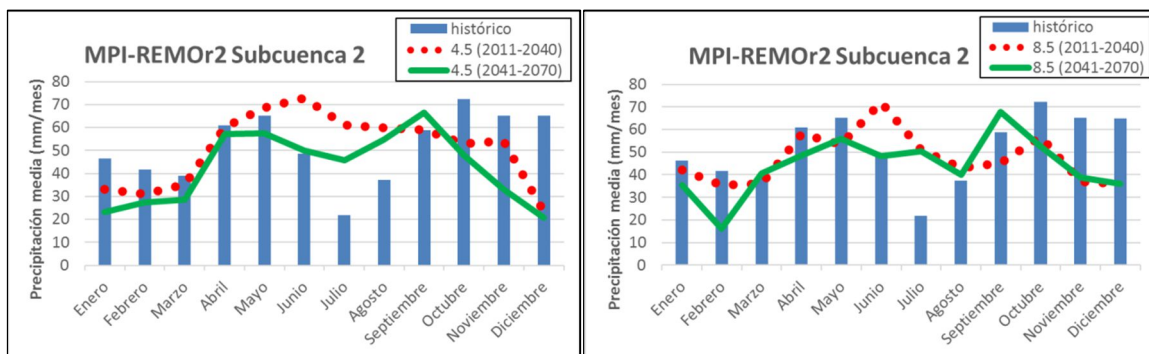


Figura 30: Precipitaciones medias del modelo MPI-REMO2 en la subcuenca 2 para los RCPs 4.5 y 8.5 a corto y medio plazo (Fuente: elaboración propia).

- Temperatura:

Tabla 16: Temperatura media de la subcuenca 2 para el modelo MPI-REMO2

MPI-REMO2 Subc_2 Tmedia							
Mes	histórico	control	control corregido	4.5 (2011-2040)	4.5 (2041-2070)	8.5 (2011-2040)	8.5 (2041-2070)
Enero	5.83	3.26	5.84	6.24	8.10	6.03	8.10
Febrero	6.68	4.00	6.65	7.00	8.22	7.49	8.73
Marzo	8.55	6.01	8.61	9.33	9.56	9.27	10.00
Abril	10.19	8.13	10.41	10.68	11.70	11.05	12.41
Mayo	13.78	12.02	14.12	15.02	15.45	15.21	16.61
Junio	17.91	16.42	18.55	19.36	20.18	19.53	20.91
Julio	20.95	19.26	21.05	22.15	23.63	22.52	24.05
Agosto	21.13	19.35	21.14	21.88	22.96	22.36	24.03
Septiembre	17.85	15.10	17.36	18.73	19.63	18.99	20.52
Octubre	13.13	10.67	12.63	13.10	14.97	13.52	15.50
Noviembre	9.32	6.65	9.18	9.47	10.57	9.89	11.08
Diciembre	6.77	3.98	6.61	7.53	8.84	7.33	8.91

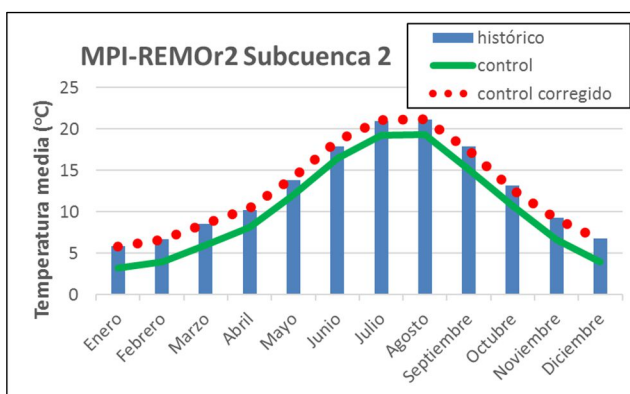


Figura 31: Corrección del sesgo del modelo MPI-REMO2 para la subcuenca 2 (Fuente: elaboración propia).

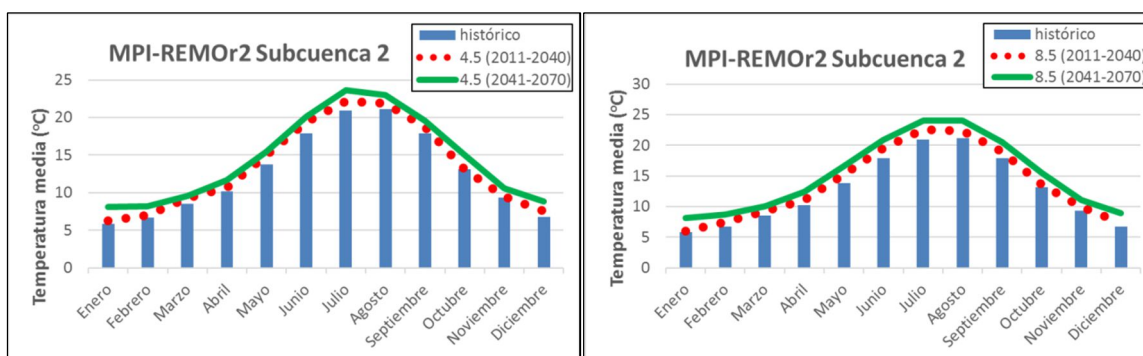


Figura 32: Temperaturas medias del modelo MPI-REMO2 en la subcuenca 2 para los RCPs 4.5 y 8.5 a corto y medio plazo (Fuente: elaboración propia).

Caudales de los escenarios de Cambio Climático

Subcuenca 1:

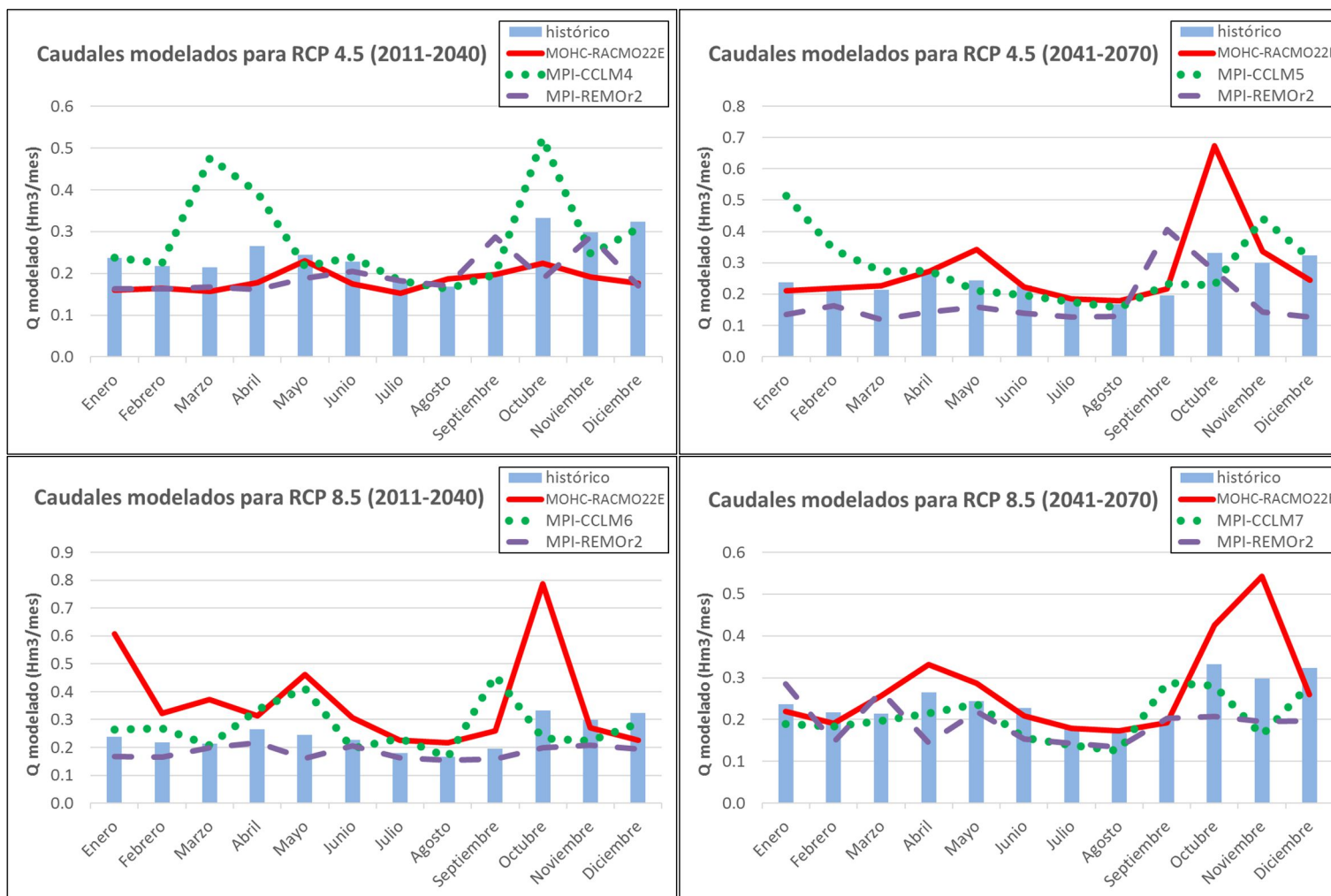


Figura 33: Caudales modelados a partir de los datos de los escenarios climáticos RCP4.5 y 8.5 para la subcuenca 1 (Fuente: elaboración propia).

Subcuenca 2:

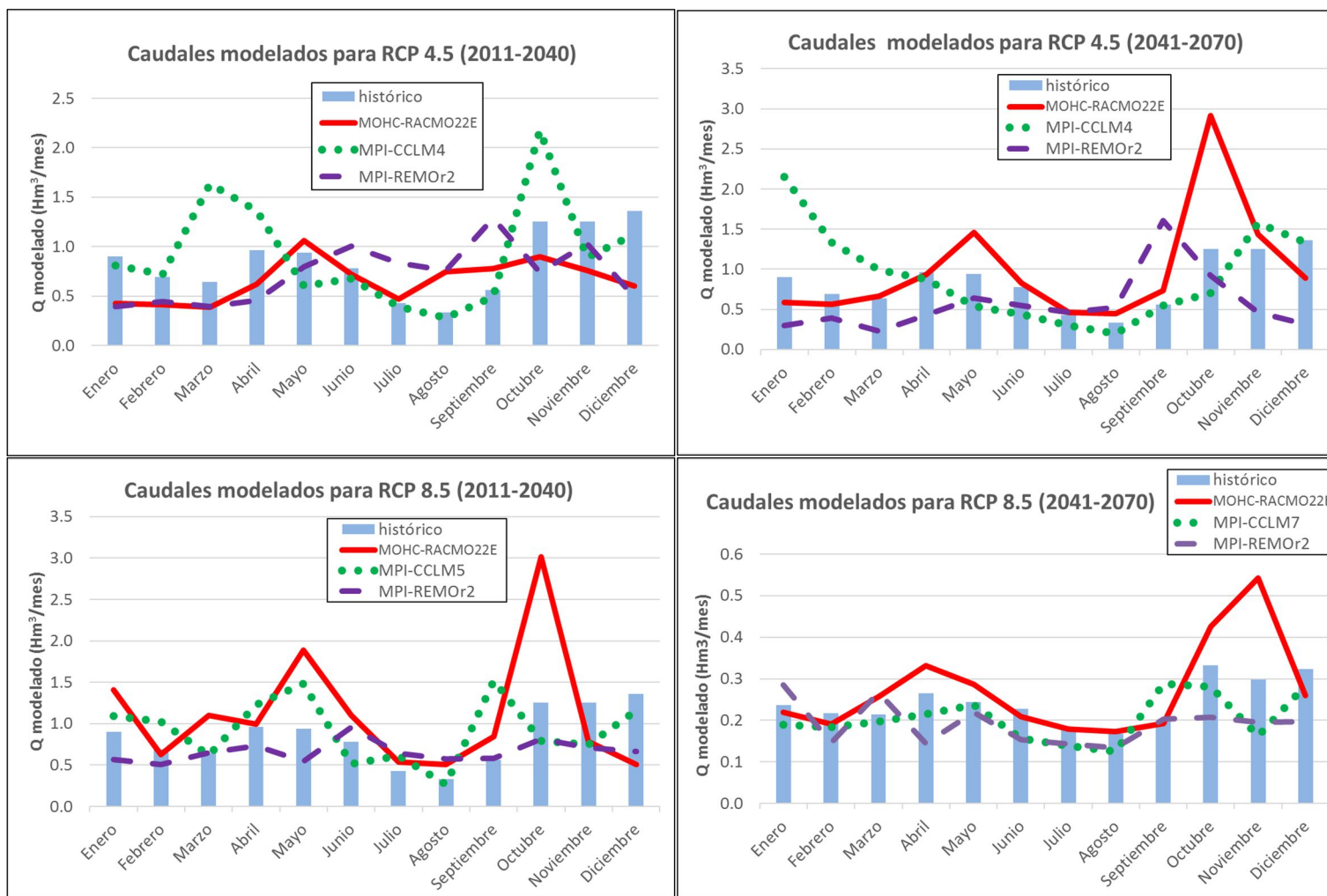


Figura 34: Caudales modelados a partir de los datos de los escenarios climáticos RCP4.5 y 8.5 para la subcuenca 2 (Fuente: elaboración propia).

ANEXO II: Simulación del hábitat físico

Análisis de sensibilidad de las condiciones de contorno.

Tabla 17: Condiciones de contorno iniciales.

Transectos	Distancia acumulada (m)	Cota thalweg (m)	Caudal (m ³ /s)	WSE =573.45m
1	0	572.90	0.112	573.453
2	24	573.47	0.112	573.632
3	67	573.83	0.112	573.998
4	83	573.84	0.112	574.173
5	119	573.54	0.112	574.175
6	137	574.61	0.112	574.732
7	148	574.76	0.112	574.985
8	159	575.08	0.112	575.241
9	172	575.28	0.112	575.441
10	181	575.29	0.112	575.493
11	190	575.45	0.112	575.607
12	200	575.39	0.112	575.685

Tabla 18: Condiciones de contorno (calado) para H= 573.43, 573.41, 573.39 y 573.37 m.

573.43m	Error (-2cm)	573.41m	Error (-4cm)	573.39m	Error (-6cm)	573.37m	Error (-8cm)
573.456	-0.01	573.433	-0.02	573.412	-0.04	573.379	-0.07
573.632	0.00	573.631	0.00	573.631	0.00	573.631	0.00
573.998	0.00	573.998	0.00	573.998	0.00	573.998	0.00
574.173	0.00	574.173	0.00	574.173	0.00	574.173	0.00
574.175	0.00	574.175	0.00	574.175	0.00	574.175	0.00
574.732	0.00	574.732	0.00	574.732	0.00	574.732	0.00
574.985	0.00	574.985	0.00	574.985	0.00	574.985	0.00
575.241	0.00	575.241	0.00	575.241	0.00	575.241	0.00
575.441	0.00	575.441	0.00	575.441	0.00	575.441	0.00
575.493	0.00	575.493	0.00	575.493	0.00	575.493	0.00
575.607	0.00	575.607	0.00	575.607	0.00	575.607	0.00
575.685	0.00	575.685	0.00	575.685	0.00	575.685	0.00

Tabla 19: Condiciones de contorno (calado) para WSE= 573.47, 573.49, 573.51 y 573.53 m.

573.47m	Error (+2cm)	573.49m	Error (+4cm)	573.51m	Error (+6cm)	573.53m	Error (+8cm)
573.472	0.02	573.492	0.04	573.512	0.06	573.581	0.13
573.633	0.00	573.634	0.00	573.636	0.00	573.646	0.01
573.998	0.00	573.998	0.00	573.996	0.00	573.998	0.00
574.173	0.00	574.173	0.00	574.173	0.00	574.173	0.00
574.175	0.00	574.175	0.00	574.175	0.00	574.175	0.00
574.732	0.00	574.732	0.00	574.732	0.00	574.732	0.00
574.985	0.00	574.985	0.00	574.985	0.00	574.985	0.00
575.241	0.00	575.241	0.00	575.241	0.00	575.241	0.00
575.441	0.00	575.441	0.00	575.441	0.00	575.441	0.00
575.493	0.00	575.493	0.00	575.493	0.00	575.493	0.00
575.607	0.00	575.607	0.00	575.607	0.00	575.607	0.00
575.685	0.00	575.685	0.00	575.685	0.00	575.685	0.00

Caudales del periodo histórico y de los diferentes escenarios de cambio climático.

Periodo histórico

Tabla 20: Caudales históricos.

Q histórico					
Meses	Media	Mediana	Percentil 25	Percentil 75	
Julio	0.067	0.059	0.042	0.088	
Agosto	0.063	0.055	0.041	0.079	
Septiembre	0.075	0.052	0.043	0.081	
Promedio	0.068				

MOHC-RACMO22E

RCP4.5

Tabla 21: Caudales del RCP4.5cp del modelo MOHC-RACMO22E.

MOHC-RACMO22E Q 4.5cp (2011-2040)					
Meses	Media	Mediana	Percentil 25	Percentil 75	
Julio	0.057	0.051	0.036	0.069	
Agosto	0.070	0.056	0.041	0.071	
Septiembre	0.076	0.058	0.042	0.077	
Promedio	0.068				

Tabla 22: Caudales del RCP4.5mp del modelo MOHC-RACMO22E.

MOHC-RACMO22E Q 4.5mp (2041-2070)					
Meses	Media	Mediana	Percentil 25	Percentil 75	
Julio	0.069	0.062	0.035	0.082	
Agosto	0.067	0.055	0.034	0.082	
Septiembre	0.084	0.060	0.044	0.078	
Promedio	0.073				

Tabla 23: Media de los caudales de los escenarios RCP4.5 del modelo MOHC-RACMO22E.

MOHC-RACMO22E Media conjunta del RCP4.5			
RCP4.5cp		0.068	m ³ /s
RCP4.5mp		0.073	m ³ /s
RCP4.5 (cp y mp)		0.070	m ³ /s

RCP8.5

Tabla 24: Caudales del RCP8.5cp del modelo MOHC-RACMO22E.

MOHC-RACMO22E Q 8.5cp (2011-2040)					
Meses	Media	Mediana	Percentil 25	Percentil 75	
Julio	0.084	0.080	0.046	0.113	
Agosto	0.081	0.074	0.044	0.106	
Septiembre	0.100	0.082	0.057	0.106	
Promedio	0.088				

Tabla 25: Caudales del RCP8.5mp del modelo MOHC-RACMO22E.

MOHC-RACMO22E Q 8.5mp (2041-2070)					
Meses	Media	Mediana	Percentil 25	Percentil 75	
Julio	0.067	0.050	0.036	0.070	
Agosto	0.064	0.050	0.041	0.079	
Septiembre	0.074	0.059	0.035	0.077	
Promedio	0.069				

Tabla 26: Media de los caudales de los escenarios RCP8.5 del modelo MOHC-RACMO22E.

MOHC-RACMO22E Media conjunta del RCP8.5			
RCP8.5cp		0.088	m ³ /s
RCP8.5p		0.069	m ³ /s
RCP8.5 (cp y mp)		0.078	m ³ /s

MPI-CCLM4

RCP4.5

Tabla 27: Caudales del RCP4.5cp del modelo MPI-CCLM4.

MPICCLM4 Q 4.5cp (2011-2040)					
Meses	Media	Mediana	Percentil 25	Percentil 75	
Julio	0.068	0.058	0.041	0.074	
Agosto	0.061	0.051	0.037	0.068	
Promedio	0.065				

Tabla 28: Caudales del RCP4.5mp del modelo MPI-CCLM4.

MPICCLM4 Q 4.5mp (2041-2070)					
Meses	Media	Mediana	Percentil 25	Percentil 75	
Julio	0.065	0.050	0.041	0.078	
Agosto	0.058	0.044	0.039	0.069	
Promedio	0.062				

Tabla 29: Media de los caudales de los escenarios RCP4.5 del modelo MPI-CCLM4.

MPICCLM4 Media conjunta del RCP4.5			
RCP4.5cp	0.065	m ³ /s	
RCP4.5p	0.062	m ³ /s	
RCP4.5 (cp y mp)	0.063	m ³ /s	

RCP8.5

Tabla 30: Caudales del RCP8.5cp del modelo MPI-CCLM4.

MPICCLM4 Q 8.5cp (2011-2040)					
Meses	Media	Mediana	Percentil 25	Percentil 75	
Julio	0.087	0.061	0.033	0.092	
Agosto	0.062	0.054	0.030	0.082	
Promedio	0.074				

Tabla 31: Caudales del RCP8.5mp del modelo MPI-CCLM4.

MPICCLM4 Q 8.5mp (2041-2070)					
Meses	Media	Mediana	Percentil 25	Percentil 75	
Julio	0.052	0.047	0.032	0.071	
Agosto	0.047	0.042	0.041	0.079	
Promedio	0.049				

Tabla 32: Media de los caudales de los escenarios RCP8.5 del modelo MPI-CCLM4

MPICCLM4 Media conjunta del RCP8.5			
RCP8.5cp	0.074	m ³ /s	
RCP8.5p	0.049	m ³ /s	
RCP8.5 (cp y mp)	0.062	m ³ /s	

MPI-REMO2

RCP4.5

Tabla 33: Caudales del RCP4.5cp del modelo MPI-REMO2.

MPIREMO2 Q 4.5cp (2011-2040)					
Meses	Media	Mediana	Percentil 25	Percentil 75	
Julio	0.068	0.060	0.050	0.093	
Agosto	0.063	0.062	0.046	0.078	
Promedio	0.066				

Tabla 34: Caudales del RCP4.5mp del modelo MPI-REMO2.

MPIREMO2 Q 4.5mp (2041-2070)					
Meses	Media	Mediana	Percentil 25	Percentil 75	
Julio	0.047	0.042	0.030	0.062	
Agosto	0.048	0.041	0.031	0.063	
Promedio	0.048				

Tabla 35: Media de los caudales de los escenarios RCP4.5 del modelo MPI-REMO2.

MPIREMO2 Media conjunta del RCP4.5			
RCP4.5cp	0.066	m ³ /s	
RCP4.5p	0.048	m ³ /s	
RCP4.5 (cp y mp)	0.057	m ³ /s	

RCP8.5

Tabla 36: Caudales del RCP8.5cp del modelo MPI-REMO2.

MPIREMO2 Q 8.5cp (2011-2040)					
Meses	Media	Mediana	Percentil 25	Percentil 75	
Julio	0.061	0.052	0.032	0.075	
Agosto	0.058	0.051	0.032	0.068	
Septiembre	0.061	0.050	0.034	0.066	
Promedio	0.060				

Tabla 37: Caudales del RCP8.5mp del modelo MPI-REMO2.

MPIREMO2 Q 8.5mp (2041-2070)					
Meses	Media	Mediana	Percentil 25	Percentil 75	
Julio	0.053	0.043	0.025	0.085	
Agosto	0.050	0.042	0.041	0.079	
Septiembre	0.078	0.055	0.029	0.082	
Promedio	0.060				

Tabla 38: Media de los caudales de los escenarios RCP8.5 del modelo MPI-REMO2.

MPIREMO2 Media conjunta del RCP8.5			
RCP8.5cp		0.060	m ³ /s
RCP8.5p		0.060	m ³ /s
RCP8.5 (cp y mp)		0.060	m ³ /s

Simulación del hábitat: Hábitat Potencial Útil.

MOHC-RACMO22E

RCP4.5

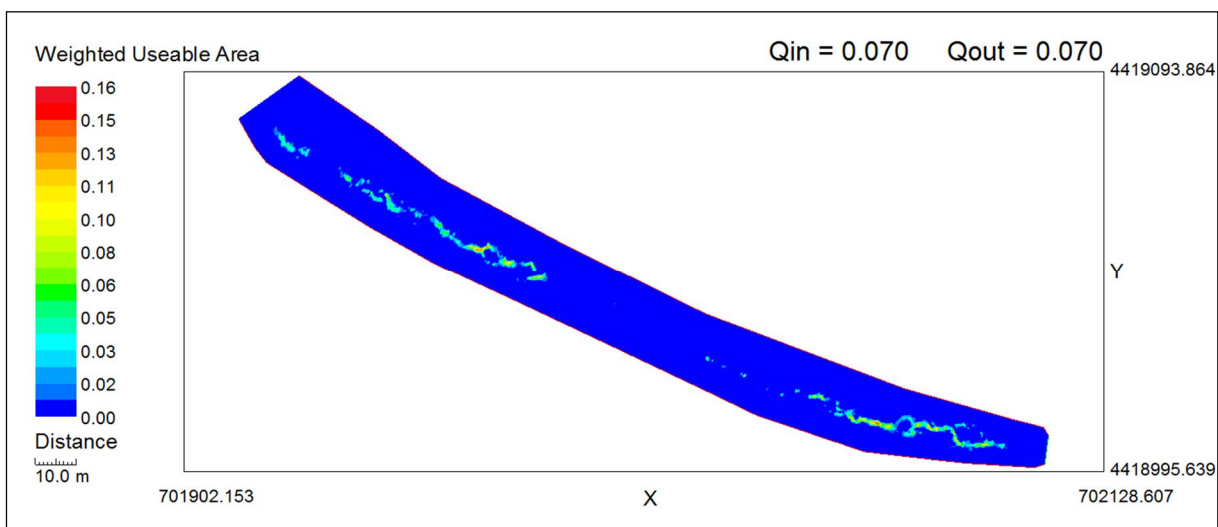
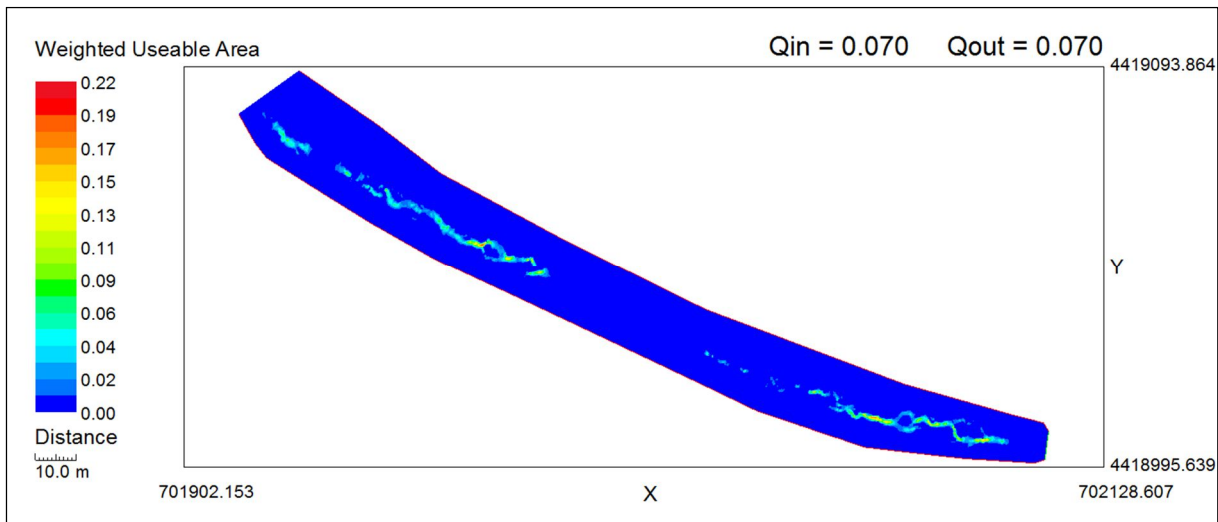


Figura 35: Mapa del Hábitat Potencial Útil para la trucha juvenil y adulta respectivamente del RCP4.5 MOHC-RACMO22E. (Fuente: elaboración propia)

RCP8.5

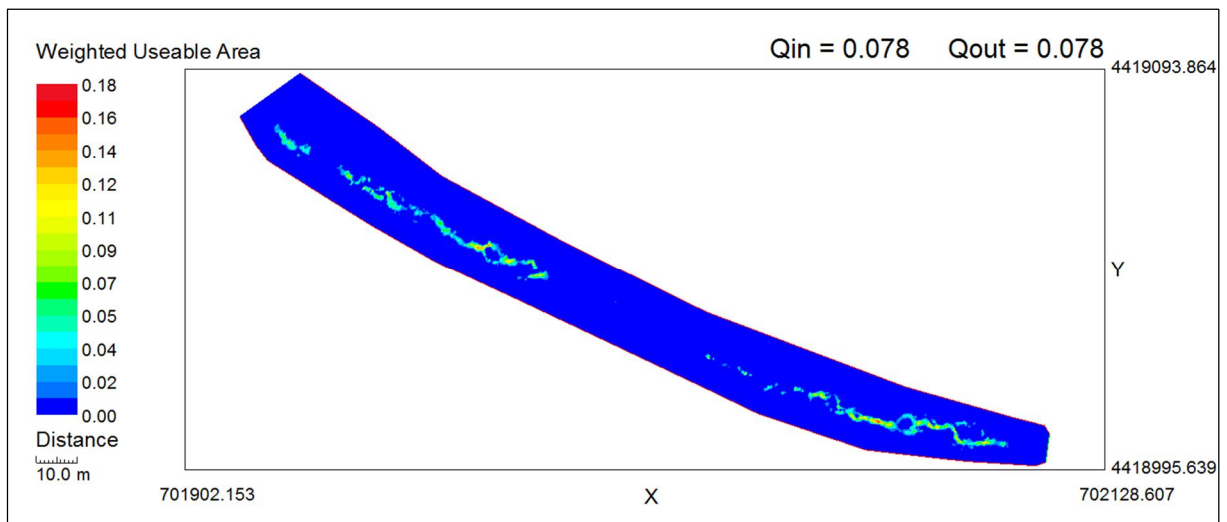
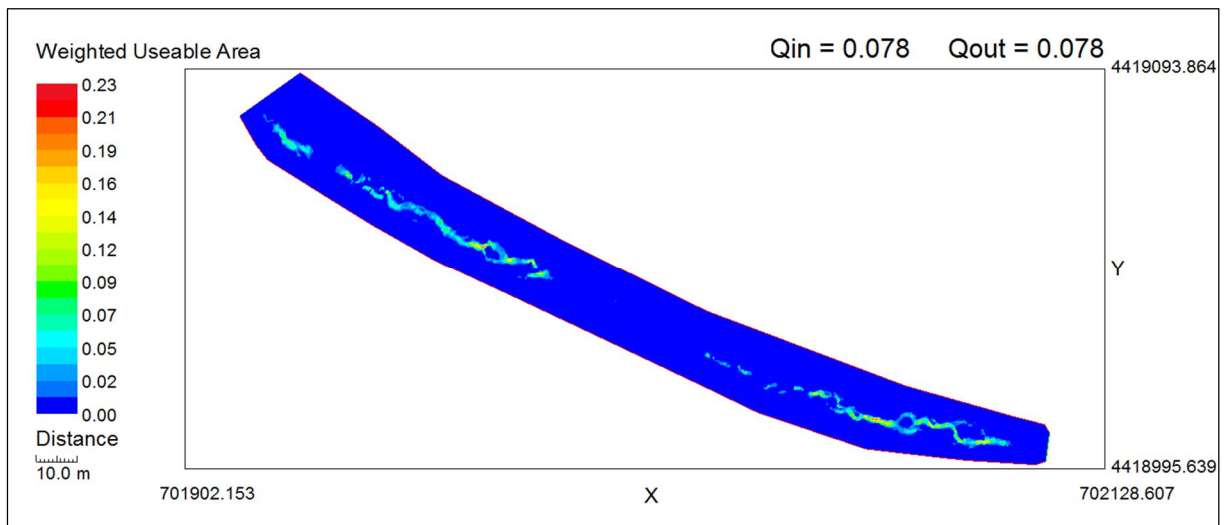


Figura 36: Mapa del Hábitat Potencial Útil para la trucha juvenil y adulta respectivamente del RCP8.5 MOHC-RACMO22E. (Fuente: elaboración propia)

MPI-CCLM4

RCP4.5

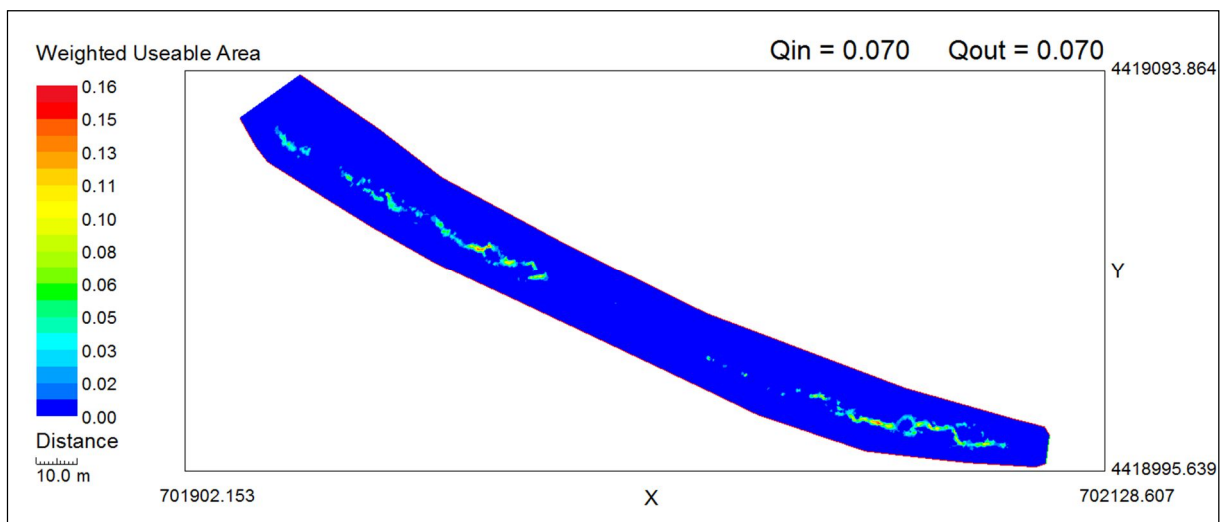
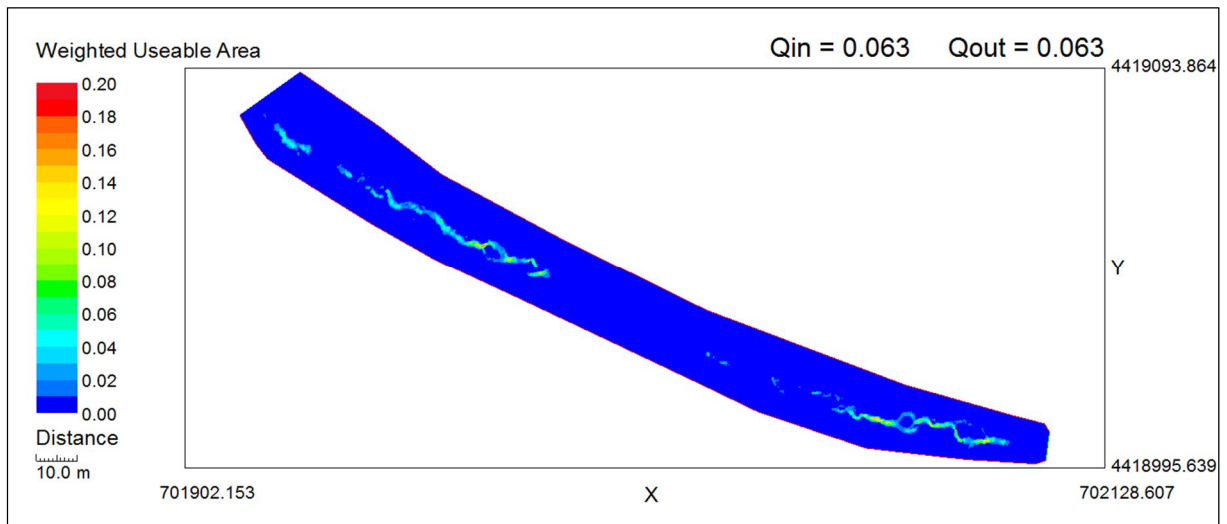


Figura 37: Mapa del Hábitat Potencial Útil para la trucha juvenil y adulta respectivamente del RCP4.5 MPI-CCLM4. (Fuente: elaboración propia).

RCP 8.5

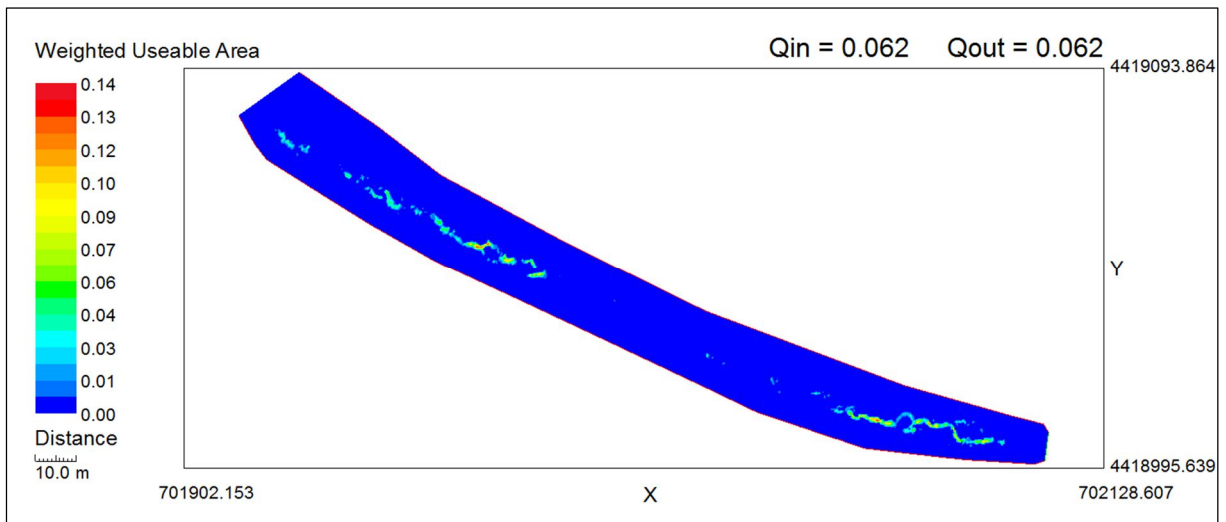
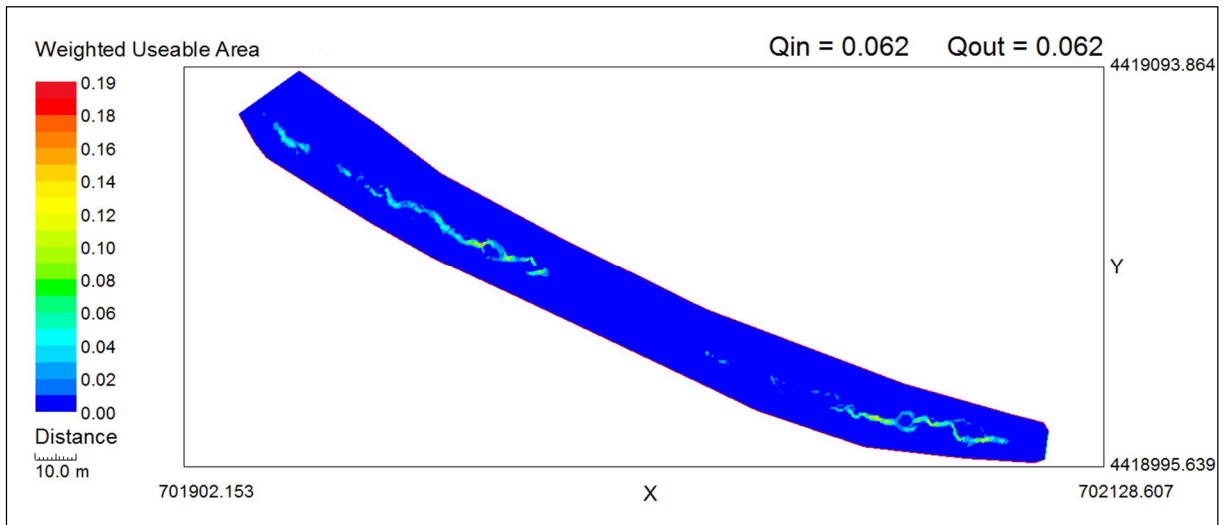


Figura 38: Mapa del Hábitat Potencial Útil para la trucha juvenil y adulta respectivamente del RCP8.5 MPI-CCLM4. (Fuente: elaboración propia)

MPI-REMO_r2

RCP4.5

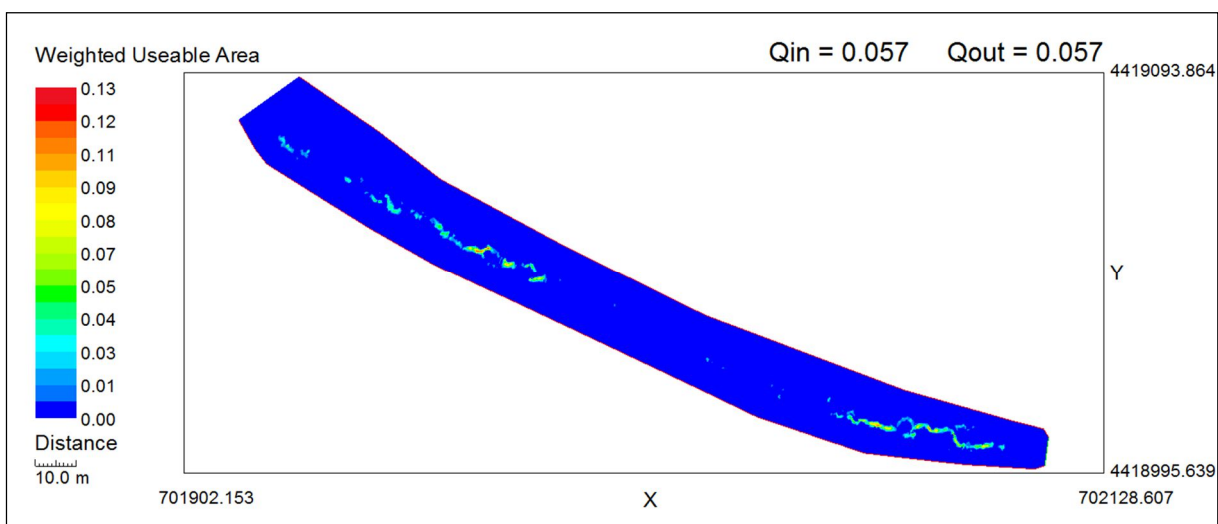
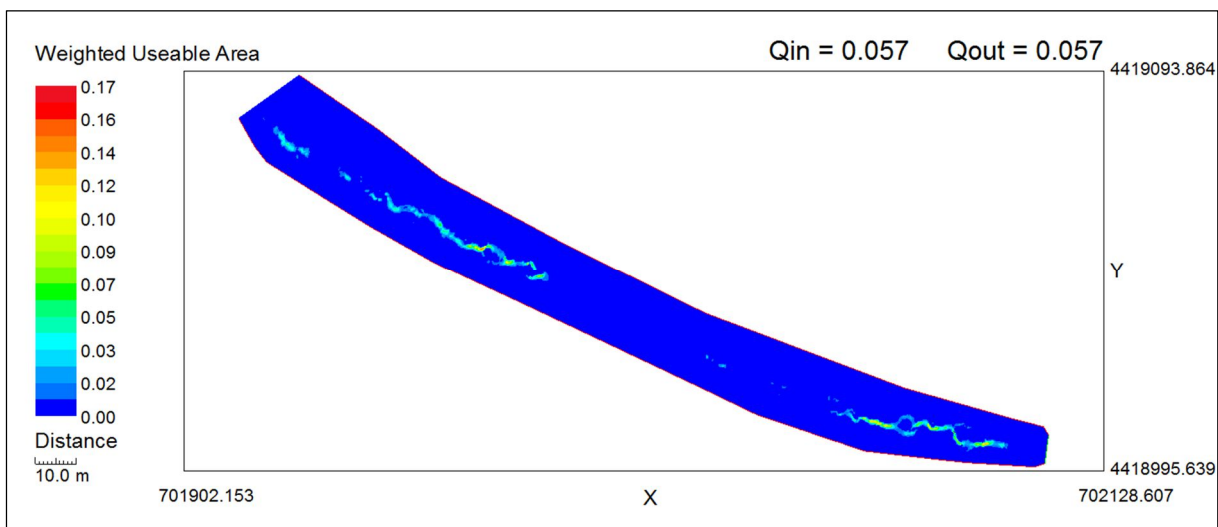


Figura 39: Mapa del Hábitat Potencial Útil para la trucha juvenil y adulta respectivamente del RCP4.5 MPI-REMO_r2. (Fuente: elaboración propia)

RCP8.5

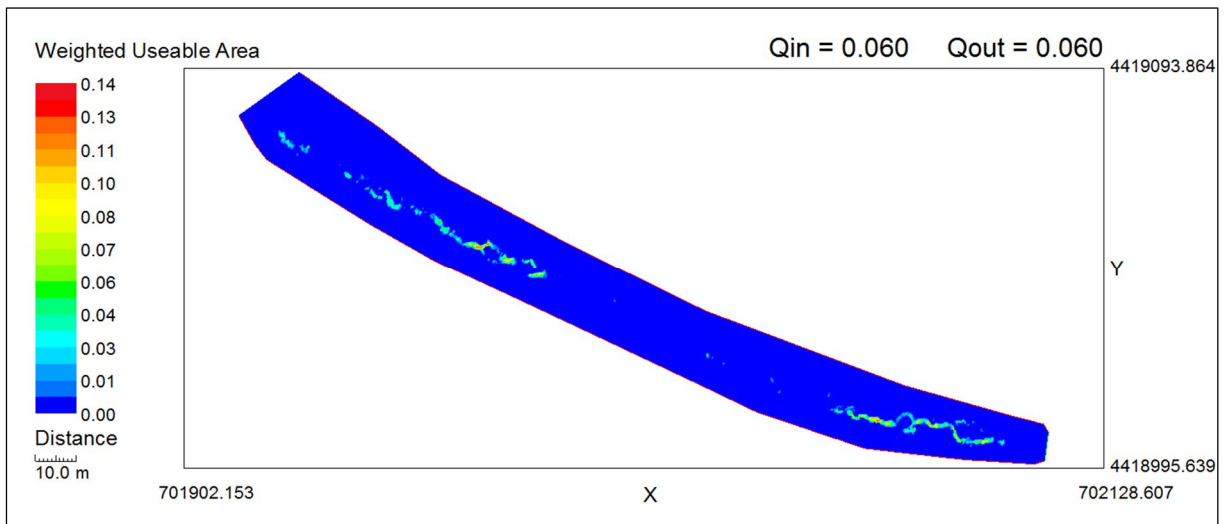
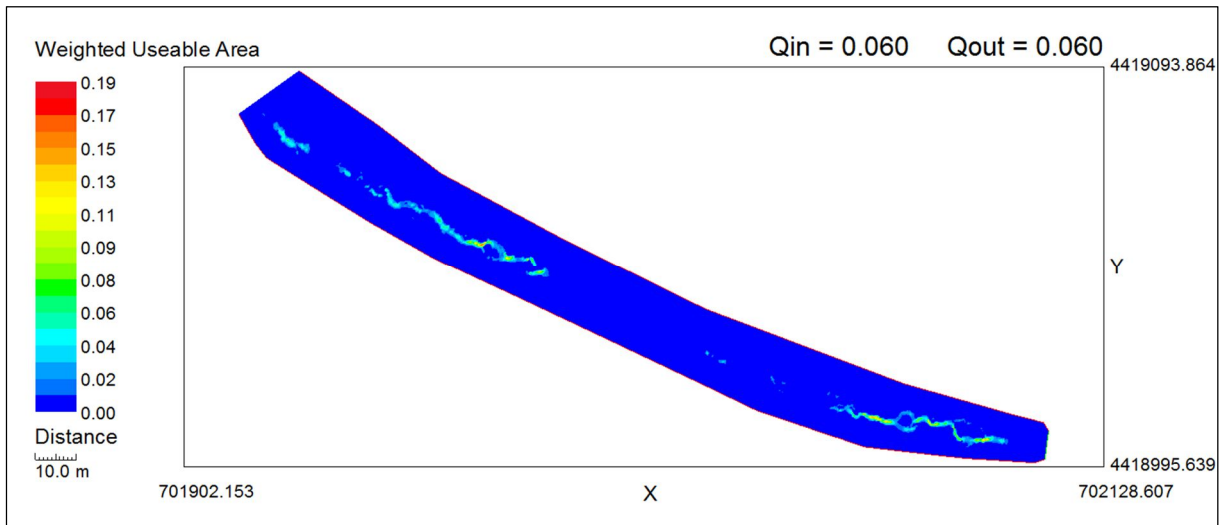


Figura 40: Mapa del Hábitat Potencial Útil para la trucha juvenil y adulta respectivamente del RCP8.5 MPI-REMO2. (Fuente: elaboración propia)